МИКРОСХЕМЫ ИНТЕГРАЛЬНЫЕ К1347АП4Т, К1347АП4Р

Технические условия АДКБ.431310.535ТУ

1 Общие положения

1.1 Классификация. Условные обозначения..... 2 Технические требования

Содержание

2.1 Требования к конструкции.....

2.2 Требования к электрическим параметрам и режимам.....

2.3 Требования к устойчивости при механических воздействиях..... 10 2.4 Требования к устойчивости при климатических воздействиях.... 10 2.5 Требования к надежности..... 3 Контроль качества и правила приемки..... 3.1 Требования по обеспечению и контролю качества в процессе

11 12 12 производства

3.2 Правила приемки..... 13

3.3 Методы контроля.....

5 Указание по применению и эксплуатации.....

6 Справочные данные.....

36

7 Гарантии преприятия-изготовителя.....

37 11 Лист регистрации измерений.....

Настоящие технические условия (далее – ТУ) распространяются на микросхемы интегральные К1347АП4Т, К1347АП4Р (далее – микросхемы) изготавливаемые для народного хозяйства.

Микросхемы предназначены для применения в первичных и вторичных источ-

никах питания, в системах распределённого питания космических станций и бортовой аппаратуры самолётов и средств передвижения. Они также применяются в схемах управления трёхфазными и многофазными двигателями, в том числе в схемах автоматики, в схемах управления высоковольтными источниками света и других обла-

стях.

Микросхемы, поставляемые по настоящим ТУ, должны соответствовать требованиям ГОСТ 18725 и требованиям, установленным в соответствующих разделах

Микросхемы изготавливаются в климатическом исполнении УХЛ категории 3.1

по ГОСТ 15150.

ными в настоящем разделе.

настоящих ТУ.

1 Общие положения

Термины и определения – по ГОСТ Р 57441. Перечень ссылочных нормативнотехнических документов приведен в разделе 10. Общие положения – по ГОСТ 18725 с дополнениями и уточнениями, приведен-

1.1 Классификация. Условные обозначения

- 1.1.1 Классификация и система условных обозначений микросхем по
- OCT 11 073.915.
- 1.1.2 Тип (типономиналы) поставляемых микросхем указаны в таблице 1.1.1.3 Обозначение микросхем при заказе и в конструкторской документации другой продукции:
 - Микросхема К1347АП4Т АДКБ.431310.535ТУ;
 - Микросхема К1347АП4Р АДКБ.431310.535ТУ.

Таблица 1 – Типы (типономиналы) поставляемой микросхемы

Условное обо	значение ИМС	К1347АП4Т	К1347АП4Р						
Основное ф	ункциональное								
назначение		ИМС полумост	ового драйвера						
Классифика-	Максимально								
ционные	допустимое	60	00						
параметры	напряжение	00							
в нормаль-	смещения V _s , В								
ных климати-	Максимально-								
ческих	допустимое								
условиях	напряжение	2	0						
(буквенное	питания VCC,								
обозначение,	VDD, VB, B								
единица	Ток короткого	Wa Wa	7.00						
измерения)	замыкания, А	не мен	Hee 2,0						
Обозначение	комплекта кон-	ДФЛК.431163.013	ДФЛК.431163.014						
структорской д	документации	дФлк.+31103.013	ДФЛК.+31103.014						
	схемы электри-	ДФЛК.430106.008 Э2							
ческой структу	•	дФЛК.130	100.000 32						
Обозначение	габаритного	У80.073.498ГЧ	У80.073.474ГЧ						
чертежа		7 00.073.1301 1	2 00.073.17 11 1						
	означение кор-	4105.14-16	2103.16-E						
пуса		.100.11.10	2103.10 2						
Обозначение	описания об-	ЮФ3.438.007Д2	СКФН.430104.011Д2						
разцов внешне		7 1	/ \						
	іементов в схе-	- Более 500							
ме электричест									
	(испытательная	1(1)							
группа)			,						
Код ОКП (ОК	ПД2)	6331489901 6331489913							
, ,	r 1 /	(26.11.30.000.03626.1)	(26.11.30.000.03627.1)						

2 Технические требования

2.1 Требования к конструкции

- 2.1.1 Микросхемы изготавливаются по комплектам конструкторской документации, обозначение которых приведено в таблице 1.
- Общий вид, габаритные, установочные и присоединительные размеры микросхем приведены на чертежах У80.073.498ГЧ, У80.073.474ГЧ.

Микросхемы разрабатываются в конструктивном исполнении, предназначенном для ручной сборки аппаратуры.

- 2.1.2 Обозначение описания образцов внешнего вида ЮФ3.438.007Д2, СКФН.430104.011Д2.
 - 2.1.3 Масса микросхем не более:
 - 1,2 г. в корпусе 2103.16-Е;
 - 0,5 г. в корпусе 4105.14-16.
- 2.1.4 Микросхемы в металлокерамическом корпусе 4105.14-16 должны быть герметичны. Показатель герметичности микросхем по скорости утечки газа должен быть не более $6,65\cdot10^{-3}$ Па·см³/с ($5\cdot10^{-5}$ л·мкм рт.ст./с).

Показатель герметичности микросхем в металлополимерных корпусах не регламентируется (монолитный корпус).

- 2.1.5 Величина растягивающей силы для микросхем в корпусе 4105.14-16 не более 2,5 Н (0,25 кгс).
- 2.1.6 Выводы микросхем должны обеспечивать способность их пайки по ГОСТ 18725.
- 2.1.8 Электрическая схема с назначением и нумерацией выводов приведена на чертеже, обозначение которой указано в таблице 1.
- 2.1.9 Микросхемы должны быть трудногорючими. Микросхемы не должны самовоспламеняться и воспламенять окружающие их элементы при воздействии аварийных электрических перегрузок.

Пожароопасный аварийный электрический режим для микросхемы $K1347A\Pi4P$: $U_{VCC,\,VB,\,VDD,\,HO,\,LO}=4$ B, $U_{COM,VSS,\,VS}=0$ B, I=8 A (P=32 Bt).

2.2 Требования к электрическим параметрам и режимам

- 2.2.1 Электрические параметры микросхем при приемке и поставке должны соответствовать нормам, приведенным в таблицах 2 и 2а.
- 2.2.2 Электрические параметры микросхем в течение наработки в пределах времени, равного сроку сохраняемости, должны соответствовать нормам, приведенным в таблицах 2 и 2а.
- 2.2.3 Электрические параметры микросхем в течение срока сохраняемости приведены в таблицах 2 и 2а.
- 2.2.4 Значения предельно допустимых и предельных режимов эксплуатации в диапазоне рабочих температур должны соответствовать нормам, приведенным в таблице 3.

Таблица 2 – Значения электрических параметров микросхем при приемке и поставке

	Г		Hoj	ома	Темпера-	Номер
Наименование параметра, единица измерения	Буквенное обозначение параметра	Режим измерения	не менее	не более	тура окру- жающей среды (корпу- са),°С	пункта при- меча- ния
1	2	3	4	5	6	7
Ток потреблении VDD, мкА	$I_{ ext{not.VDD}}$	$U_{VDD} = U_{VCC} = U_{VB} = 15 \text{ B}$ $U_{BX} = 0 \text{ B}$ или $U_{BX} = 15 \text{ B}$ $U_{VDD} = U_{VCC} = U_{VB} = 20 \text{ B}$	-	30	25 ± 10 - 60 ± 3 , 125 ± 5	
·	I _{пот.} VB	$U_{\text{BX}} = 0 \text{ B}$ или $U_{\text{BX}} = 20 \text{ B}$ $U_{\text{VDD}} = U_{\text{VCC}} = U_{\text{VB}} = 15 \text{ B}$ $U_{\text{BX}} = 0 \text{ B}$ или $U_{\text{BX}} = 15 \text{ B}$	-	230	25 ± 10 -60 ± 3 ,	
	Inor. VB	$U_{VDD} = U_{VCC} = U_{VB} = 20 \text{ B}$ $U_{BX} = 0 \text{ B}$ или $U_{BX} = 20 \text{ B}$	-	230	125 ± 5	
	Ivcc	$U_{VDD} = U_{VCC} = U_{VB} = 15 \text{ B}$ $U_{BX} = 0 \text{ B}$ или $U_{BX} = 15 \text{ B}$	1	340	25 ± 10 -60 ± 3 ,	
	I _{пот.} VCC	$U_{VDD} = U_{VCC} = U_{VB} = 20 \text{ B}$ $U_{BX} = 0 \text{ B}$ или $U_{BX} = 20 \text{ B}$	-	340	125 ± 5	

Продолжение таблииы 2

	Буквенное		Hoj	рма	Темпера-	Номер
Наименование параметра, единица измерения	обозначе- ние пара- метра	Режим измерения	не менее	не более	тура окру- жающей среды (корпуса), °С	пункта при- меча- ния
1	2	3	4	5	6	7
Ток утечки напряжения смещения VS – COM, мкА	$I_{ ext{yt.cm}}$	$U_{COM} = U_{VSS} = 0 B$ $U_{VS} = 620 B$	-	50	25 ± 10 -60 ± 3 , 125 ± 5	
Выходное напряжение низкого уровня (LO, HO), В	U _{вых.н}	$U_{VDD} = U_{VCC} =$ $U_{VB} = 15 \text{ B}$ $U_{BX} = 0 \text{ B}$ $I_{Bbix} = 0 \text{ A}$	-	0,3	25 ± 10 -60 ± 3 , 125 ± 5	
Выходное напряжение высокого уровня (LO, HO), В	U _{вых.в}	$U_{VDD} = U_{VCC} =$ $U_{VB} = 15 \text{ B}$ $U_{BX} = 15 \text{ B}$ $I_{BMX} = 0 \text{ A}$	14,7	-	25 ± 10 -60 ± 3 , 125 ± 5	
Входной ток низкого уровня (HIN, LIN, SD), мкА	$I_{\scriptscriptstyle \mathrm{BX.H}}$	$U_{VDD} = U_{VCC} =$ $U_{VB} = 15 \text{ B}$ $U_{BX} = 0 \text{ B}$	-5	5	25 ± 10 -60 ± 3 , 125 ± 5	
Входной ток высокого уровня (HIN, LIN, SD), мкА	$I_{{\scriptscriptstyle \mathrm{BX}},{\scriptscriptstyle \mathrm{B}}}$	$U_{VDD} = U_{VCC} =$ $U_{VB} = 15 B$ $U_{BX} = 15 B$	8	45	25 ± 10 -60 ± 3, 125 ± 5	
Напряжение срабатывания защиты от снижения напряжения VCC, В	U _{cp6.VCC}	$U_{VDD} = 15 B$ $U_{BX} = 15B$	6,5	9,0	25 ± 10 -60 ± 3 , 125 ± 5	
Напряжение отпускания защиты от снижения напряжения VCC, В	U _{otti} .vcc	$U_{VDD} = 15 B$ $U_{Bx} = 15B$	7,0	9,2	25 ± 10 -60 ± 3 , 125 ± 5	
Напряжение срабатывания защиты от снижения напряжения VB, В	U _{срб.} VВ	$U_{VDD} = 15 B$ $U_{BX} = 15B$	6,5	9,0	25 ± 10 -60 ± 3 , 125 ± 5	
Напряжение отпускания защиты от снижения напряжения VB, B	U _{OTII.} VB	$U_{VDD} = 15 B$ $U_{BX} = 15B$	6,9	9,1	25 ± 10 -60 ± 3 , 125 ± 5	

Окончание таблицы 2

Наименование параметра, единица из- мерения	Буквен- ное обо- значение парамет- ра	Режим измерения	не менее	не более	Температура окружающей среды (корпуса),	Номер пункта приме- чания
1	2	3	4	5	6	7
Входное пороговое напряжение высокого уровня (HIN, LIN, SD), В	Uпор.вх.в	$U_{VDD} = U_{VCC} = U_{VB} = 15 B$	8,0	10,5	25 ± 10 -60 ± 3 , 125 ± 5	
Входное пороговое напряжение низкого уровня (HIN, LIN, SD), В	Uпор.вх.н	$U_{VDD} = U_{VCC} = U_{VB} = 15 B$	5,5	8,0	25 ± 10 -60 ± 3 , 125 ± 5	
Ток короткого замыкания при выходном напряжении высокого уровня (HO, LO), А	I _{кз.в}	$U_{VDD} = U_{VCC} =$ $U_{VB} = 15 \text{ B}$ $U_{HIN}/U_{LIN} = 15 \text{ B}$ $U_{Bbix} = 0 \text{ B}$	2,0	-	25 ± 10	1
Ток короткого замыкания при выходном напряжении низкого уровня (НО, LO), А	$I_{ ext{K3.H}}$	$U_{VDD} = U_{VCC} = $ $U_{VB} = 15 \text{ B}$ $U_{HIN}/U_{LIN} = 0 \text{ B}$ $U_{BMX} = 15 \text{ B}$	2,0	-	25 ± 10	1

Примечания:

1 Измерения проводятся в импульсном режиме с длительностью импульса $\tau \leq 10$ мкс, и малым коэффициентом заполнения для обеспечения $T_{\text{пер.}} = T_c$, где $T_{\text{пер.}}$ — температура перехода, T_c — температура окружающей среды.

Таблица 2а – Динамические характеристики микросхем

			Hop	ома	Температу-	Приме-
Наименование параметра, единица измерения	Буквенное обозначение параметра	Режим измерения	не ме-	не бо- лее	ра окружа- ющей среды (корпуса), °С	чание
1	3	2	4	5	6	7
Время задержки распространения при включении, нс	t _{зд.р.вкл}	$V_S = 0B$	-	165	25 ± 10	1
Время задержки распространения при выключении, нс	t _{зд.р.выкл}	$V_S = 600B$	-	135	25 ± 10	1
Время задержки распро- странения при выключении по сигналу SD, нс	t _{зд.р.выкл} .sd	$V_S = 600B$	-	140	25 ± 10	1

Окончание таолицы 2а														
				Н	орма	Температу-								
Исимоноромно нерометра	Буквенное	Режим	_		e e	ра окружа-	Патис							
Наименование параметра,	обозначение	<u> </u>		не ме-	более	ющей среды	Приме-							
единица измерения	параметра	измерен	КИ	ie I	000	(корпуса),	чание							
	1 1			I	Не	$^{\circ}$ C								
1	3	2		4	5	6	7							
Время нарастания	t				35	25 ± 10								
выходного сигнала, нс	$t_{\text{нар.вых}}$	_		•	33	23 ± 10								
Время спада выходного	+				25	25 ± 10								
сигнала, нс	t _{сп.вых}	_		_	23	23 ± 10								
Рассогласование задержки							2							
распространения сигнала	$t_{ m pacc.}$	-		-	20	25 ± 10	2							
LO и HO, нс														
Примечания:														
1. Время задержки распро	остранения о	пределяет	ся ка	ак врег	ия между	подачей вхо	дного							
сигнала, равного половине	_		_											
10 % или спадом ниже 90 %														
		деляет	ся как бо.	пьшая велич	ина из									
$ t_{_{3\mathrm{Д.р.8}\mathrm{K}\mathrm{J.HO}}}$ $t_{_{3\mathrm{Д.р.8}\mathrm{K}\mathrm{J.LO}} $ и $ t_{_{3\mathrm{Д.р.8}\mathrm{bH}}}$	огласование задержки распространения определяется как бо. - t _{зд.р.вкл.LO} и t _{зд.р.выкл.НО-} t _{зд.р.выкл.LO}													
Таблица 3 – Значения пред	іельно лопу	стимых и	пре	елельн	о лопуст	чмых режи	MOB							
	,		r		/ /	r								
эксплуатации микросхем														
	Буквенное	Предель	но д	опу-	Прет	цельные	Номер							
Наименование параметра,	обозначе-	сти	мые		Пред	Сльныс	пункта							
единицы измерения	ние пара-	не менее	110 6	более	не менее	не более	приме-							
	метра	не менее	не	JOHEC	не менее	не облес	чания							
1	2	3		4	5	6	7							
Напряжение вывода VS, В	Uvs	-4	6	500	-	660								
Напряжение вывода VB, В	U_{VB}	$U_{VS}+10$	U_{V_i}	s+20	-0,3	$U_{VS}+22$								
Напряжение вывода НО, В	U_{HO}	U_{VS}	U	J_{VB}	U_{VS} -0,3	$U_{VB} + 0.3$								
Напряжения вывода VCC, В	U _{VCC}	10	(4	20	-0,3	22								
Напряжения вывода LO, В	U_{LO}	0	U	VCC	-0,3	$U_{VCC}+0,3$								
Напряжения вывода VDD, В	U_{VDD}	U _{VSS} +5	Uvs	ss+20	-0,3	Uvss+22								
Напряжения смещения	I I	-5		5	Uvcc-20	H								
логики VSS,B	Uvss	-3		3	UVCC-20	Uvcc+0,3								
Входное напряжение, В	U _{bx}	Uvss	U	VDD	U_{VSS} -0,3	$U_{VDD}+0,3$								
Скорость нарастания/спада														
напряжения на выводе VS,		_		_	_	50								
В/нс	dU _{vs} /dt	_		_	_	30								
$V_S = 0600 B$														
Температура перехода, °С	Тпер	_	1	.50	_	_								
Тепловое сопротивление														
кристалл – среда, °С/Вт для	$Rt_{\kappa-c}$	-	8	80	-	80	1							
микросхем К1347АП4Р						<u> </u>								
Тепловое сопротивление														
кристалл – среда, °С/Вт для	$Rt_{\kappa-c}$	-	9	90	-	90	2							
микросхем К1347АП4Т														

Продолжение таблицы 3

Рассеивая мощность, Вт					
при температуре окружа-	P _{pac}				
ющей среды:					
- для К1347АП4Р					
- от минус 60 до плюс					
65 °C;		1,06	_	_	1, 2
- плюс 125 °C.		0,31	_	_	
- для К1347АП4Т					
- от минус 60 до плюс		0,94	_	_	
65 °C;		0,28	_	_	
- плюс 125 °C.					

Примечания:

1 Значение на тепловое сопротивление кристалл — среда не более $80\,^{\circ}\text{C/BT}$ микросхем К1347АП4Р напаянных на плату с медной металлизацией не менее $137\,\,\text{мm}^2$, толщиной медной металлизации не менее $0,035\,\,\text{мm}$, масса медной металлизации не менее $0,043\,\,\text{г.}$ и $90\,^{\circ}\text{C/BT}$ для микросхем К1347АП4Т напаянных на плату с медной металлизацией площадью не менее $94,8\,\,\text{mm}^2$, толщиной медной металлизации не менее $0,035\,\,\text{mm}$, масса медной металлизации не менее $0,035\,\,\text{mm}$, масса медной металлизации не менее $0,035\,\,\text{mm}$, масса медной металлизации не менее $0,035\,\,\text{mm}$.

2 Максимальная рассеиваемая мощность указана для температуры окружающей среды до 65 °C. Снижение рассеиваемой мощности в диапазоне температуры окружающей среды от 65 до 125 °C снижается по линейному закону и рассчитывается:

$$P_{pac} = (150 - T_c) / R_{\text{тп-c}}$$
, где

 T_c – температура окружающей среды;

 $R_{\mbox{\tiny TII-c}}$ – тепловое сопротивление кристалл-окружающая среда.

2.3 Требования к устойчивости при механических воздействиях

Микросхемы должны быть механически прочными и сохранять свои параметры в процессе и после воздействия на них механических нагрузок, установленных в ГОСТ 18725.

2.4 Требования к устойчивости при климатических воздействиях

- 2.4.1 Микросхемы должны быть устойчивы к климатическим воздействиям и сохранять свои параметры в процессе и после воздействия на них следующих климатических факторов:
- а) пониженной рабочей температуры среды минус $60~^{\circ}$ С и пониженной предельной температуры среды минус $60~^{\circ}$ С;
- б) повышенной рабочей температуры среды 125 °C; повышенной предельной температуры среды 125 °C;
- в) изменения температуры среды в пределах от повышенной предельной температуры среды до пониженной предельной температуры среды;

- г) относительной влажности не более 98 % при температуре 35 °C без конденсации влаги;
 - д) атмосферного пониженного давления 26664 Па (200 мм рт.ст.);
 - е) атмосферного повышенного давления до 294199 Па (3 кгс/см²).

2.5 Требования к надежности

- 2.5.1 Наработка микросхем в режимах и условиях, установленных техническими условиями, должна быть не менее 50000 ч, а в облегченных режимах (при $P_{pac} = 0.7 \times P_{pac}$), не менее 60000 ч.
- 2.5.2 Интенсивность отказов в течение наработки не должна превышать $3\cdot10^{-7}$ 1/ч.
 - 2.5.3 Гамма-процентный срок сохраняемости микросхем при хранении их в условиях, установленных ГОСТ 21493 10 лет при доверительной вероятности $\gamma = 95\%$.

3 Контроль качества и правила приемки

3.1 Требования по обеспечению и контролю качества в процессе производ- ства по ГОСТ 18725 с дополнениями и уточнениями, приведенными в настоящем разделе.

- 3.1.1 Отбраковочные испытания по ГОСТ 18725, в том числе:
- технологический контроль внутренних соединений проводить по методу 109-4
- OCT 11 073.013;
- измерение электрических параметров (состав параметров соответствует группе C-3) проводят в режимах, указанных в таблице 4;

- испытание на воздействие изменения температуры среды от минус 60 °C до

- испытание на воздействие повышенной рабочей температуры среды проводят по методу 201-1.1 ОСТ 11 073.013;
- функциональный контроль при нормальных климатических условиях и повы-

- контроль внешнего вида по методу 405-1.3 ОСТ 11 073.013;

щем разделе ТУ, и совмещается с проверкой статических параметров.

Допускается вместо проверки электрических параметров при повышенной температуре среды проводить проверку параметров при нормальных климатических условиях по нормам, обеспечивающим установленные значения параметров при по-

шенной рабочей температуре среды проводится по методу, приведенному в настоя-

- вышенной и пониженной рабочей температуры среды.
 Испытание на воздействие изменения температуры среды проводится по мето-
- ду 205-1 ОСТ 11 073.013.

 Количество циклов равно 5.

125 °C;

- Испытание на воздействие изменения температуры среды допускается проводить однокамерным методом (метод 205-2 ГОСТ 20.57.406), время достижения теп-
- лового равновесия 10 мин. Электротермотренировка проводится при t=125 °C, $U_{\Pi}=20$ В в течение 168 ч. Термообработку для стабилизации параметров перед герметизацией проводят в течение 1 часа при температуре 150 °C.

- **3.2 Правила приемки** по ГОСТ 18725 и требованиям, изложенным в настоящем пункте.
- 3.2.1 Испытания по проверке прочности внешних выводов групп К-7, П-4 не проводят для микросхем К1347АП4Р в корпусе 2103.16-Е.
- 3.2.2 Испытания на герметичность групп К-7, П-4 и испытания на вибропрочность и виброустойчивость групп К-9, П-5 проводят для микросхем К1347АП4Т в корпусе 4105.14-16.

Вместо испытания на герметичность групп К-7, П-4 для микросхем К1347АП4Р в корпусе 2103.16-Е проводят испытание на воздействие повышенной влажности воздуха (кратковременное).

- 3.2.3 Для испытаний по группе C-1 приемочный уровень дефектности 2,5 %. 3.2.4 Для испытаний по группе C-3 приемочный уровень дефектности 0,1 %.
- 3.2.5 Объем выборки для группы испытаний К-11 12 шт., приемочное число
- 3.2.6 Время выдержки микросхем перед приемо-сдаточными испытаниями указывается в технологической документации.

C=0.

- 3.2.7 Испытание маркировки на стойкость к воздействию очищающих растворителей по группе П-4 не проводят на микросхемах, у которых маркировка нанесена лазерной гравировкой.
- 3.2.8 При приемо-сдаточных испытаниях допускается вместо проверки статических параметров при повышенной и пониженной рабочих температурах среды проводить проверку параметров при нормальных климатических условиях по нормам, обеспечивающим установленные значения параметров при повышенной (понижен-

ной) рабочей температуре среды при нормальных климатических условиях.

3.3 Методы контроля

3.3.1 Методы контроля – по ГОСТ 18725 и ОСТ 11 073.013.

3.3.2 Общие положения

- 3.3.2.1 Схемы включения микросхем при испытаниях, проводимых под электрической нагрузкой, электрические режимы выдержки в процессе испытаний и параметры-критерии приведены на рисунках 1-27.
- 3.3.2.2 Параметры для всех видов испытаний, их нормы, условия, режимы и методы измерения этих параметров приведены в таблице 4.

Состав параметров по каждой группе испытаний приведен в таблице 5.

3.3.2.3 Испытание на воздействие повышенной и пониженной рабочей температуры среды, атмосферное пониженное давление, повышенную влажность воздуха (кратковременную и длительную), виброустойчивость и вибропрочность, многократные и одиночные удары, безотказность и долговечность допускается проводить без распайки на печатные платы с использованием контактирующих устройств.

Испытание на воздействие повышенной влажности воздуха (длительное) проводить с распайкой микросхем на печатную плату.

При испытаниях на воздействие одиночных и многократных ударов, линейные нагрузки направления воздействия ускорения в двух направлениях у₂, z или x в соответствии с ОСТ 11 073.013.

При испытаниях на воздействие изменения температуры среды, повышенной влажности воздуха, атмосферного пониженного и повышенного давления воздуха микросхемы помещают так, чтобы они не касались друг друга

3.3.2.4 При испытаниях на воздействие повышенной влажности воздуха (длительное) микросхемы покрывают лаком марки ЭП-730 по ГОСТ 20824.

Таблица 4 — l	Нормы	и ре	<u>жим</u>	ы измер	ения п	арамет	ров м	микросх	кем при	испь	тания	X									
		Ho									ежим и		R ИН								
Наименова-	ачение	пај		ос С	змерении тров, %	МОГО		Знач	нения ис	спыта	гельны	х напр	яжений	, токов	на вы	водах		Імечания			
ние параметра, единица	Буквенное обозначение параметра	Нее	тее	Температура среды (корпуса), °С	ть при и:) параме	Номер проверяемого вывода			Ном	іер вы	вода К	1347A	П4Р (К1	.347AI	T4T)			ткта при			
измерения	Буквенное парав 1 Парав 2 Не менее 3 Не более 4 Корпус		Погрешность при измерении (контроле) параметров, %	Номер г	1 (1) LO	2 (2) COM	3 (3) VCC	5 (5) VS	6 (6) VB	7 (7) HO	11 (9) VDD	12 (10) HIN	13 (11) SD	14 (12) LIN	15 (13) VSS	Номер пункта примечания					
1	2	3	4	5	6	7	8	9	10	11	12	13	14	15	16	17	18	19			
							_	0	15,0	0	15	_	15,0	0	0	0	0				
1 Ток	VDD -	30	25 ± 10	. 2		_	0	20,0	0	20,0	_	20,0	0	0	0	0					
потребления VDD, мкА	$\mathbf{I}_{ ext{пот.VDD}}$.VDD -	-	- 30	30	30	-60 ± 3 , 125 ± 5	± 3	11	_	0	15,0	0	15,0	_	15,0	15,0	0	15,0	0	
,							_	0	20,0	0	20,0	_	20,0	20,0	0	20,0	0				
							_	0	15,0	0	15,0	_	15,0	0	0	0	0				
2 Ток	т		220	25 ± 10			_	0	20,0	0	20,0	_	20,0	0	0	0	0				
потребления VB, мкА	$I_{\text{пот.VB}}$	-	230	-60 ± 3 , 125 ± 5	± 3	6	_	0	15,0	0	15,0	_	15,0	15,0	0	15,0	0				
							_	0	20,0	0	20,0	_	20,0	20,0	0	20,0	0				
							_	0	15,0	-			15,0	0	0	0	0				
3 Ток потреб-	* I		240	25 ± 10 -60 ± 3	± 3	3	_	0	20,0	_	_	_	20,0	0	0	0	0				
ления VCC, мкА VCC	-	340	-60 ± 3 , 125 ± 5	± 3	3	_	0	15,0	_	_	_	15,0	15,0	0	15,0	0					
									_	0	20,0	_	_	_	20,0	20,0	0	20,0	0		

Продолжение таблицы 4

2	3	4	5	6	7	8	9	10	11	12	13	14	15	16	17	18	19
I _{ут.см}	1	50	25 ± 10 -60 ± 3 , 125 ± 5	± 3	2	_	0	_	620	-	-	_	_	_	_	0	
II		0.3	25 ± 10	± 1	7	-	0	15,0	0	15,0	0A	15,0	0	0	0	0	
Овых.н	1	0,5	125 ± 5	± 1	1	0A	0	15,0	0	15,0	•	15,0	0	0	0	0	
U _{вых,в}	14,7	_	25 ± 10 -60 ± 3	± 1	7	_	0	15,0	0	15,0	0A	15,0	15,0	0	15,0	0	
	,,		125 ± 5		1	0A	0	15,0	0	15,0	_	15,0	0	0	15,0	0	
			2.5		12	_	0	15,0	0	15,0		15,0	0	0	0	0	
$I_{\scriptscriptstyle BX.H}$	-5	5	-60 ± 3 ,	± 3	14	_	0	15,0	0	15,0	_	15,0	0	0	0	0	
			123 ± 3		13	_	0	15,0	0	15,0	ı	15,0	0	0	0	0	
			25 + 10		12	_	0	15,0	0	15,0		15,0	15,0	0	0	0	
$I_{\scriptscriptstyle BX.B}$	8	45	-60 ± 3 ,	± 3	14	_	0	15,0	0	15,0		15,0	0	0	15,0	0	
			123 ± 3		13	_	0	15,0	0	15,0		15,0	15,0	15,0	15,0	0	
	I _{ут.см} U _{вых.н}	I _{ут.см} - U _{вых.н} - I _{вх.н} -5	I _{ут.см} - 50 U _{вых.н} - 0,3 U _{вых.в} 14,7 - I _{вх.н} -5 5	$I_{\text{ут.cm}} - 50 \begin{array}{c} 25 \pm 10 \\ -60 \pm 3, \\ 125 \pm 5 \end{array}$ $U_{\text{Вых.н}} - 0,3 \begin{array}{c} 25 \pm 10 \\ -60 \pm 3, \\ 125 \pm 5 \end{array}$ $U_{\text{Вых.в}} 14,7 - \begin{array}{c} 25 \pm 10 \\ -60 \pm 3, \\ 125 \pm 5 \end{array}$ $I_{\text{Вх.н}} -5 5 \begin{array}{c} 25 \pm 10 \\ -60 \pm 3, \\ 125 \pm 5 \end{array}$ $25 \pm 10 -60 \pm 3, \\ 125 \pm 5 \end{array}$	$I_{\text{Jyt.cm}} - 50 \begin{vmatrix} 25 \pm 10 \\ -60 \pm 3, \\ 125 \pm 5 \end{vmatrix} \pm 3$ $U_{\text{Bbix.h}} - 0,3 \begin{vmatrix} 25 \pm 10 \\ -60 \pm 3, \\ 125 \pm 5 \end{vmatrix} \pm 1$ $U_{\text{Bbix.b}} 14,7 - \begin{vmatrix} 25 \pm 10 \\ -60 \pm 3, \\ 125 \pm 5 \end{vmatrix} \pm 1$ $I_{\text{Bx.h}} -5 5 \begin{vmatrix} 25 \pm 10 \\ -60 \pm 3, \\ 125 \pm 5 \end{vmatrix} \pm 3$ $125 \pm 5 \pm 3$ $125 \pm 5 \pm 3$ $125 \pm 3 \pm 3$	$I_{\text{yt.cm}} - 50 \begin{array}{c} 25 \pm 10 \\ -60 \pm 3, \\ 125 \pm 5 \end{array} \pm 3 2$ $U_{\text{Bbix.h}} - 0,3 \begin{array}{c} 25 \pm 10 \\ -60 \pm 3, \\ 125 \pm 5 \end{array} \pm 1$ $I_{\text{Bbix.h}} 14,7 - \begin{array}{c} 25 \pm 10 \\ -60 \pm 3, \\ 125 \pm 5 \end{array} \pm 1$ $I_{\text{Bx.h}} -5 5 \begin{array}{c} 25 \pm 10 \\ -60 \pm 3, \\ 125 \pm 5 \end{array} \pm 3$ $I_{\text{Bx.h}} -5 5 \begin{array}{c} 25 \pm 10 \\ -60 \pm 3, \\ 125 \pm 5 \end{array} \pm 3$ $I_{\text{Bx.h}} 14$ $I_{\text{Bx.h}} 8 45 \begin{array}{c} 25 \pm 10 \\ -60 \pm 3, \\ 125 \pm 5 \end{array} \pm 3$ $I_{\text{Bx.h}} 12$ $I_{\text{Bx.h}} 12$	$I_{\text{JT.CM}} - 50 \begin{vmatrix} 25 \pm 10 \\ -60 \pm 3, \\ 125 \pm 5 \end{vmatrix} \pm 3 2 - \begin{vmatrix} \\ \\ \\ \\ \\ \\ \\ \\ \\ \\ \\ \\ \\ \\ \\ \\ \\ \\$	$\begin{array}{c ccccccccccccccccccccccccccccccccccc$	$\begin{array}{c ccccccccccccccccccccccccccccccccccc$	$\begin{array}{c ccccccccccccccccccccccccccccccccccc$	$\begin{array}{c ccccccccccccccccccccccccccccccccccc$	$ \begin{array}{c ccccccccccccccccccccccccccccccccccc$					

Продолжение таблицы 4

1	2	3	4	5	6	7	8	9	10	11	12	13	14	15	16	17	18	19
9 Напряжение срабатывания защиты от снижения напряжения VCC, В	U _{cp6} . VCC	6,5	9,0	25 ± 10 -60 ± 3 , 125 ± 5	± 3	1	*3B	0	Примеча- ние 2 Рисунок 2а	()	Приме- чание 2 Рису- нок 2а	_	15,0	0	0	15,0	0	2
10 Напряжение отпускания защиты от снижения напряжения VCC, В	U _{OTII} .	7,0	9,2	25 ± 10 -60 ± 3 , 125 ± 5	± 3	1 .	3 B X	0	Примеча- ние 2 Рисунок 2б	0	Приме- чание 2 Рису- нок 2б	_	15,0	0	0	¹⁵ В Рису- нок 2б	0	2
11 Напряжение срабатывания защиты от снижения напряжения VB, B	U _{срб.}	6,5	9,0	25 ± 10 -60 ± 3 , 125 ± 5	± 3	7	l	0	15,0	0	Приме- <u> </u> чание 2 Рису- нок 2а	* 3 B	15,0	15,0	0	0	0	2
12 Напряжение отпускания защиты от снижения напряжения VB, B	U _{отп.}	6,9	9,1	25 ± 10 -60 ± 3 , 125 ± 5	± 3	7	_	0	15,0	0	Приме- нание 2 Рису- нок 2а	3 B X	15,0	15 В О В Рису- нок 26	0	0	0	2

Продолжение таблицы 4

1	2	3	4	5	6	7	8	9	10	11	12	13	14	15	16	17	18	19
13 Входное по-						1	7,5BX	0	15,0	0	15,0	_	15,0	0	0	При- меча- ние1	0	
роговое напря- жение высокого уровня (HIN,	Uпор.в х.в	8,0	10,5	25 ± 10 -60 ± 3 , 125 ± 5	± 3	7	0	0	15,0	0	15,0	7,5BX	15,0	При- меча- ние 1	0	0	0	1
LIN, SD), B						1	7,5BX	0	15,0	0	15,0		15,0	0	При- меча- ние 1	15 B 0 B	0	
14 Входное по-						1	¥7,5E	B 0	15,0	0	15,0		15,0	0	0	При- меча- ние 1	0	
роговое напря- жение низкого уровня (HIN	Uпор.в х.н	5,5	8,0	25 ± 10 -60 ± 3 , 125 ± 5	± 3	7	0	0	15,0	0	15,0	X7,5B	15,0	При- меча- ние 1	0	0	0	1
LIN, SD), B						1	7,5BX	0	15,0	0	15,0	l	15,0	0	При- меча- ние 1	15 B 0 B	0	
15 Ток коротко- го замыкания при выходном	$I_{{ m \tiny K3.B}}$	2,0		25 ± 10	+ 10	1	0	0	15,0	0	15,0	_	15,0	15,0	_	Л	0	
напряжении высокого уровня (НО, LO), А	1K3.B	2,0		23 ± 10	± 10	2	15,0	0	15,0	0	15,0	-	15,0	15,0	_	T	0	
16 Ток коротко- го замыкания при выходном	T	2.0		25 + 10	_ 10	7	_	0	15,0	0	15,0	0	15,0	Л	_	15,0	0	
напряжении низкого уровня (HO, LO), А	$I_{\text{K3.H}}$	2,0		25 ± 10	± 10	5	_	0	15,0	0	15,0	15,0	15,0		_	0	0	

Продолжение таблицы 4

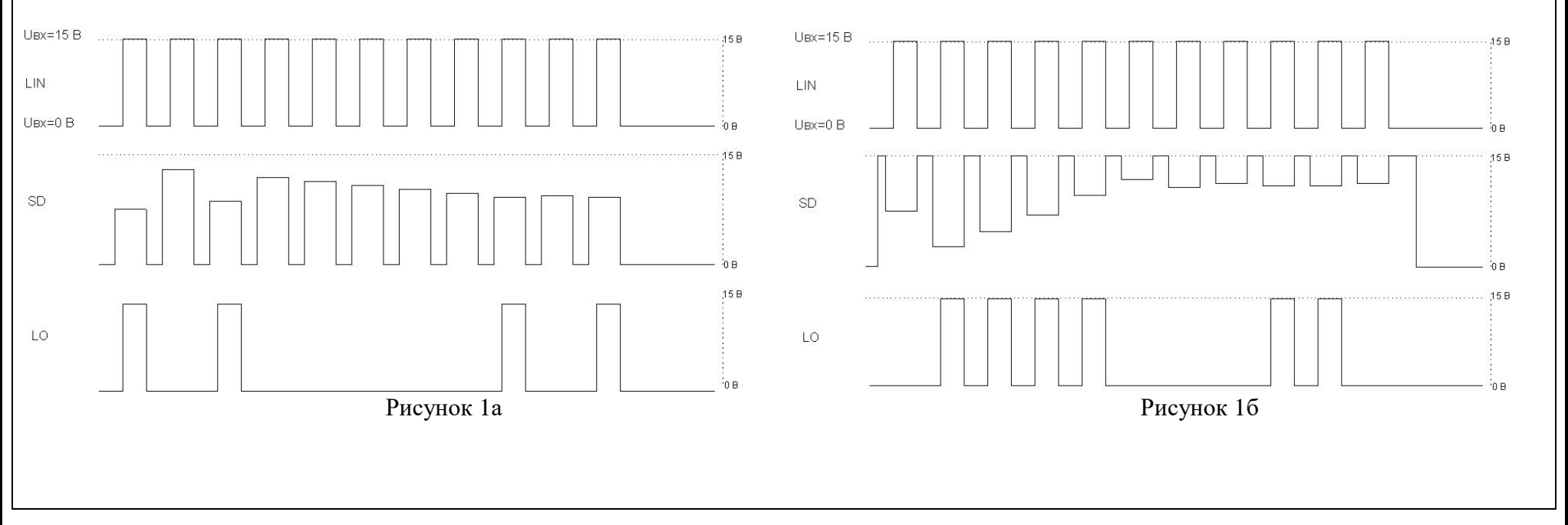
1		,																
1	2	3	4	5	6	7	8	9	10	11	12	13	14	15	16	17	18	19
17 Время за- держки рас- пространения	t _{зд.р.вкл}	-	165	25 ± 10	± 2	1	_	0	15,0	0	15,0		15,0				0	
при включе-	эд.р.ы					7		0	15,0	0	15,0		15,0				0	
18 Время за- держки рас-	t _{зд.р.вык}		105	25 : 10	. 2	1	_	0	15,0	600,0	615,0	_	15,0		_	Л	0	
пространения при выклю- чении, нс	л	-	135	25 ± 10	± 2	7	_	0	15,0	600,0	615,0		15,0		_		0	
19 Время за- держки рас- пространения при выключе- нии по сигналу SD, нс	t _{зд.р.вык} л∙SD	-	140	25 ± 10	± 2	7	1	0	15,0	600,0	615,0	1	15,0	Л			0	
20 Время нарастания			25	25 + 10	+ 10	1	_	0	15,0	0	15,0		15,0		_		0	
выходного сигнала, нс	t _{нар.вых}	-	35	25 ± 10	± 10	7	_	0	15,0	0	15,0	_	15,0		_	Л	0	
21 Время спада выход-						1	_	0	15,0	0	15,0	_	15,0		_		0	
ного сигнала,	t _{сп.вых}	-	25	25 ± 10	± 10	7	_	0	15,0	0	15,0	_	15,0		1		0	

Продолжение таблицы 4

1	2	3	4	5	6	7	8	9	10	11	12	13	14	15	16	17	18	19
22 Рассогла- сование за- держки рас-	4		20	25 ± 10	± 10	t10 _{зд.р.LO} - t _{10зд.р.HO}	_	0	15,0	0	15,0	_	15,0	П	l	Л	0	
пространения сигнала LO и HO, нс	Грасс.	-	20	23 ± 10	± 10	t _{01зд.р.LO} - t _{01зд.р.HO}	_	0	15,0	0	15,0	_	15,0	П	_	Л	0	

1. Поиск порогов осуществляется в диапазоне входных напряжений от 0 B до 15 B с количеством шагов приближения равным n = 10. Перед каждым шагом приближения осуществляется сброс входного напряжения в 0 B при поиске входного порогового напряжения высокого уровня и в 15 B при поиске входного порогового напряжения низкого уровня.

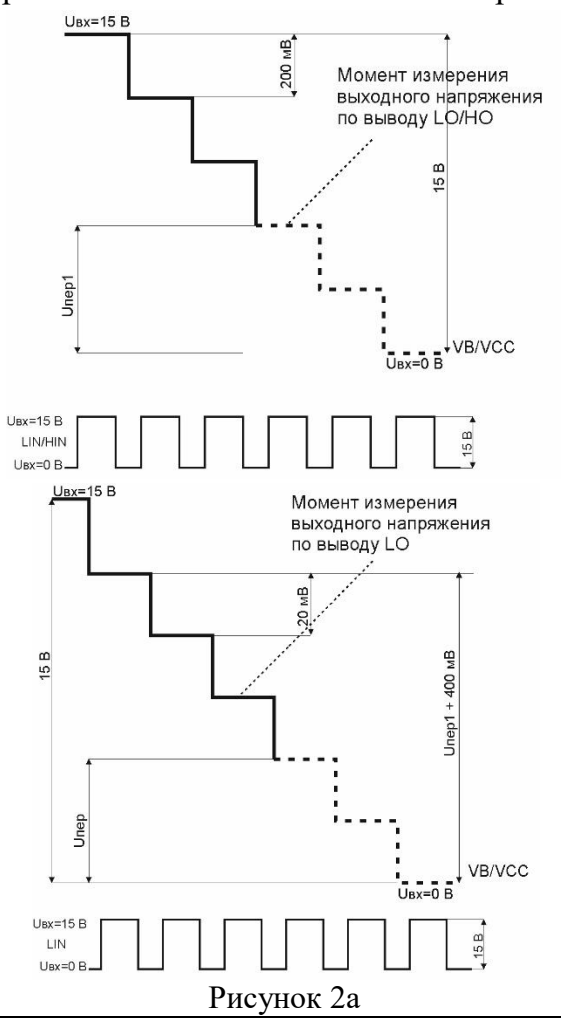
При измерении пороговых напряжений по входу SD после установки входного напряжения по входу SD осуществлять включение входа HIN или LIN с 0 В в 15 В с последующим сбросом в 0 В.

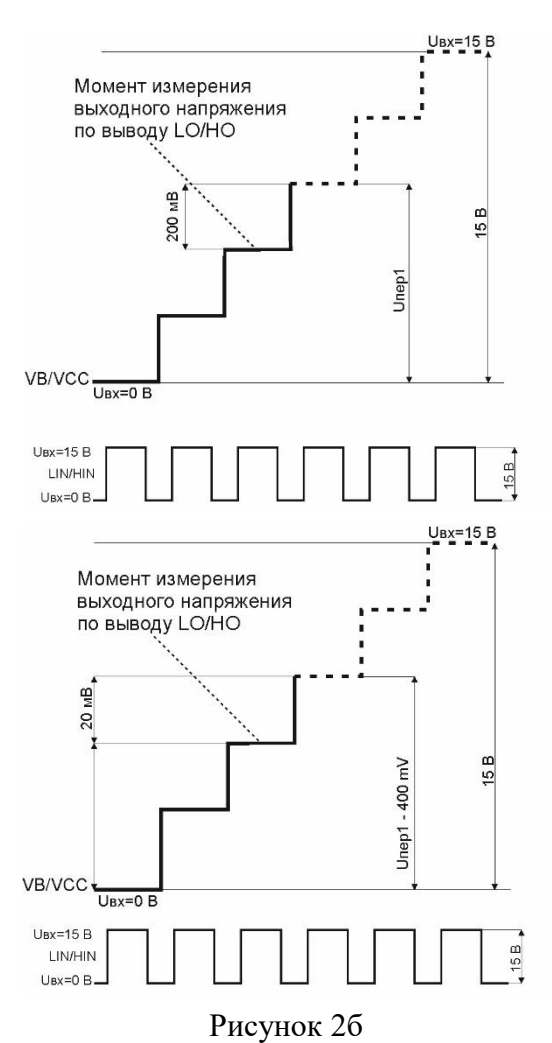


1 2 3 4 5 6 7 8 9 10 11 12 13 14 15 16 17 18 19

2. Форма напряжения входных импульсов на выводах VB и VCC при измерении напряжения срабатывания и отпускания защиты от

снижения напряжения питания нижнего или верхнего плеча.





1 2 3 4 5 6 7 8 9 10 11 12 13 14 15 16 17 18 19

3. Определение времен переключения при $C_{LOAD} = 1000 pF$

Характеристики импульса: $Q=2;\, \tau_{\text{имп}} \leq 10$ мкс; $t_{\text{нар}} = t_{\text{спад}} \leq 15$ нс.

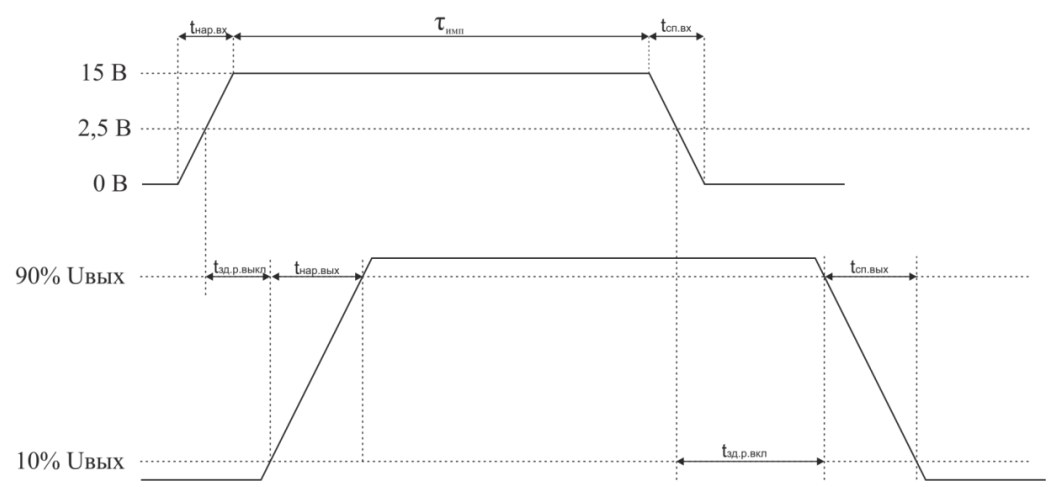
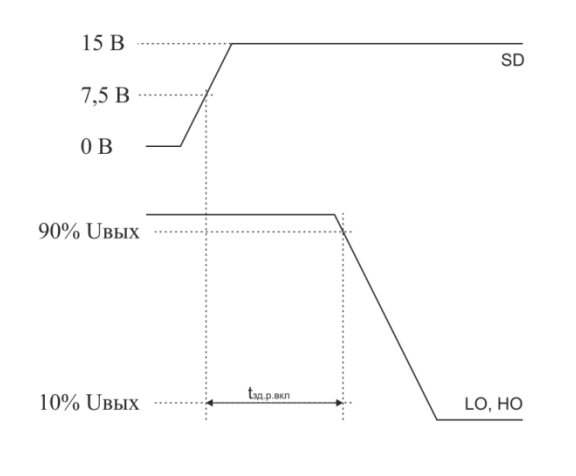


Рисунок 3



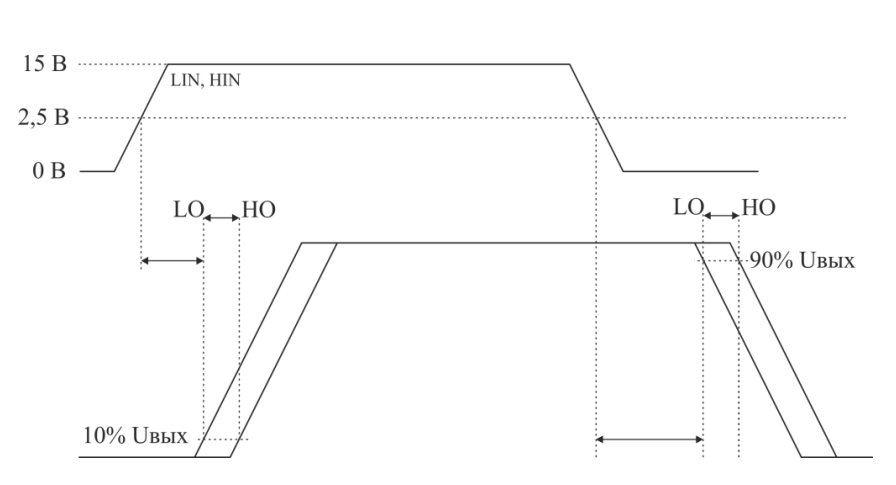


Рисунок 4

Рисунок 5

Таблица 5

та		Порядков	вые номера параметров в ствии с таблицей 4	в соответ-	Методы и	спытания	гр га ания
Группа испытания	Вид и последовательность испытаний	перед испытанием	в процессе испытания	после испытания	метод по ОСТ 11 073.013	пункт ТУ	Номер пункта примечания
1	2	3	4	5	6	7	8
K-1 C-1	Проверка внешнего вида и маркировки	_	_	_	405–1.3 ГОСТ 30668 407-1	3.3.9.1 4.1	
K-2 C-2	Проверка габаритных, установочных и присоединительных размеров	_	Размеры по ГЧ	_	404-1	3.3.3.1	
K-3 C-3	Проверка статических параметров (параметров постоянного тока), отнесенных к категории С, при: - нормальных климатических условиях	_	1-16	_	500-1	3.3.4 3.3.2.1 3.3.2.2	
K-3	- пониженной рабочей тем- пературе среды	_	1-14	_	203-1		
K-3 C-3	-повышенной рабочей температуре среды	_	1-14	_	201-1.1		1

Продолжение таблицы 5

1	2	3	4	5	6	7	8
K-3 C-3	Проверка динамических параметров, отнесенных к категории С при нормальных климатических условиях	_	17-22	_			
	Функциональный контроль при: - нормальных климатических условиях - повышенной рабочей температуре среды		_	_	500-7	3.3.4	1

Ι	Тродолх	жение таблицы 5
		2

К-4 Испытание на воздействие пониженной рабочей температуры среды 1-16 1-14 (-60± 3°C) 1-16 3.3.2.3 3.3.6.1	1	2	3	4	5	6	7	8
повышенной рабочей температуры среды (+125 ± 5°C) 3.3.6.2 Проверка электрических параметров, отнесенных к категории П и К, при нормальных климатических условиях – 1-16 – 500-1 Функциональный контроль при: – – – – - нормальных климатических условиях – – 500-7 - повышенной рабочей тем- 500-7		пониженной рабочей темпе-	1-16		1-16	203-1		
Проверка электрических параметров, отнесенных к категории П и К, при нормальных климатических условиях Функциональный контроль при: - нормальных климатических условиях - повышенной рабочей тем-		повышенной рабочей темпе-	-	Рисунок 8		201-2.1		
при: - нормальных климатических условиях - повышенной рабочей тем-		Проверка электрических параметров, отнесенных к категории П и К, при нормальных климатических условиях	_	1-16	_	500-1		2
		при: - нормальных климатических условиях	_			500-7	3.3.4.1	

Продолжение таблицы 5

1	2	3	4	5	6	7	8
K-5	Испытание на воздействие		_		205-1	3.3.2.3,	
П-3	изменения температуры сре-	1-16			5 циклов	3.3.6.3	3
	ды						
	Испытание на воздействие		_		107-1	3.3.5.5	4
	линейного ускорения						4
	Испытание на воздействие		_		106-1	3.3.2.3	
	одиночных ударов					3.3.5.3	
	Испытание на воздействие		_	1-16	208-2	3.3.2.3,	
	повышенной влажности воз-				4 суток	3.3.3.8	
	духа (кратковременное)						
К-6	Испытание на безотказность	1-16	Рисунок 8	1-16	700-1	3.3.2.3	
П-1					500 ч	3.3.7.1	

1	2	3	4	5	6	7	8
К-7 П-4	Проверка качества и прочности нанесения маркировки	_	Оценка маркировки	_	407-1	3.3.9	5
	Проверка прочности внешних выводов	_	_	_	109-1 110-3	3.3.3.5	6
	Испытание на способность к пайке	-	_	_	402-1	3.3.3.7	
	Испытание на теплостой- кость при пайке	Внешний вид микро-	_	Внешний вид микро-	403-1	3.3.3.7	
	Испытание на герметичность	схемы, 1-16	-	схемы, 1-16	401-8	3.2.2 3.3.3.4	7
К-8	Испытание упаковки		см. комплект КД		404-2 408-1.4 ΓΟСТ 23088	3.3.10	
K-9 П-5	Испытание на вибропроч- ность	1-16	-		103-1.3	3.2.2 3.3.5.2	8
	Испытание на виброустойчивость		_		102-1	3.3.5.1 3.2.2	8
	Испытание на ударную прочность (многократные удары)		_	1-16	104-1	3.3.5.4	

Продолжение таблицы 5

1	2	3	4	5	6	7	8
K-10	Проверка массы	1-16	Macca	_	406-1	3.3.3.3	
	Испытание на воздействие				210-1	3.3.6.5	
	атмосферного повышенного		_				
	давления						
	Испытание на воздействие			1-16	209-1	3.3.6.4]
	атмосферного пониженного		Рисунок 9				
	давления						
К-11	Испытание на долговечность		Рисунок 8		700-2.1	3.3.7.3	
П-6			т исунок о			3.3.7.2	
K-12	Испытание на воздействие	Внешний		Внешний	207-2	3.3.6.6	
	повышенной влажности воз-	вид микро-	Рисунок 9	вид микро-			
	духа (длительное)	схемы,	, and the second	схемы,	ем лаком		
	, ,	1-16		1-16			
K-15	Испытание на способность	_	_	_	409-1	3.3.3.10	
	вызывать горение						
	Испытание на горючесть				409-2	3.3.3.11	

Окончание таблицы 5

Сх Испытание на сохраняемость	_	_	_	ГОСТ 21493	3.3.8	
-------------------------------	---	---	---	---------------	-------	--

Примечания

- 1 Проверку статических параметров и функционирования, отнесенных к категории C при повышенной температуре среды проводят при температуре окружающей среды (25 ± 3) °C.
- 2 Допускается при непрерывном цикле испытаний совмещать проверку электрических параметров перед какимлибо испытанием с такой же проверкой после предыдущего испытания.
- 3 Испытания на воздействие изменения температуры среды допускается проводить однокамерным методом (метод 205-2 ГОСТ 20.57.406), время достижения теплового равновесия 10 минут.
 - 4 Для микросхем монолитной конструкции испытания на воздействие линейного ускорения не проводят.
- 5 Испытание маркировки на стойкость к воздействию очищающих растворителей не проводят на микросхемах, у которых маркировка нанесена лазерной гравировкой.
- 6 Испытание по проверке прочности внешних выводов микросхем в корпусе 2103.16-Е не проводят (монолитный корпус)
- 7 Испытание на герметичность для микросхем К1347АП4Р не проводят (монолитная конструкция). Вместо испытания на герметичность проводят испытание на воздействие повышенной влажности воздуха (кратковременное).
- 8 Испытание вибропрочность и виброустойчивость для микросхем К1347АП4Р не проводят (монолитная конструкция).

3.3.3 Проверка конструкции

3.3.3.1 Проверку общего вида, габаритных, установочных и присоединительных размеров проводят по методу 404-1 ОСТ 11 073.013 на соответствие У80.073.498 ГЧ,

Погрешность измерения не более 0,01 мм.

3.3.3.2 Проверку внешнего вида проводят по методу 405-1.3 ОСТ 11 073.013.

Проверку элементов конструкции проводят при увеличении 16^X.

3.3.3.3 Проверку массы микросхем проводят по методу 406-1 ОСТ 11 073.013.

3.3.3.4 Проверку герметичности микросхем К1347АП4Т проводят по методу

401-8 OCT 11 073.013.

У80.073.474 ГЧ.

Показатель герметичности микросхем в металлополимерных

2103.16-Е не регламентируется (монолитный корпус).

3.3.3.5 Проверку прочности выводов микросхемы К1347АП4Т на воздействие

растягивающей силы проводят по методу 109-1 ОСТ 11 073.013. Величина растяги-

вающей силы 2,5 Н (0,25 кгс). Растягивающую силу прикладывают к двум любым

выводам. Испытание выводов на изгиб проводят по методу 110-3 ОСТ 11 073.013. Расстояние от точки изгиба до корпуса микросхемы не менее (1+0.5) мм, радиус изгиба

корпусах

(0.36 + 0.18) мм. Должно быть обеспечено жесткое крепление выводов на участке от корпуса до места изгиба. Допускается на выводах следы инструмента, не нарушающих покрытие выводов.

Проверку прочности внешних выводов не проводят на микросхемах К1347АП4Р.

3.3.3.6 Ускоренное старение проводят методом 3 п. 5.2.1.2 OCT 11 073.013.

3.3.3.7 Проверку выводов на способность к пайке проводят по методу 402-1

ОСТ 11 073.013 с предварительным ускоренным старением по методу 3.

Проверку выводов на теплостойкость при пайке проводят по методу 403-1

OCT 11 073.013. 3.3.3.8 Проверку коррозионной стойкости микросхем проводят по методу 208-2

ОСТ 11 073.013 без покрытия лаком.

- 3.3.3.9 Проверку нумерации внешних выводов совмещают с проверкой электрических параметров.
- 3.3.3.10 Испытание микросхем на способность вызывать горение проводят по методу 409-1 ОСТ 073.013.

Время выдержки микросхем в нормальных климатических условиях – 1 ч.

Время выдержки микросхем в камере тепла при повышенной рабочей температуре среды – 30 мин.

Пламя горелки прикладывается к торцевой поверхности микросхем в течение $(10\pm 2)\ c.$

3.3.3.11 Испытание микросхем на горючесть проводят по методу 409-2 OCT 11 073.013.

3.3.4 Проверка электрических параметров

другими составляющими погрешности.

3.3.4.1 Измерение электрических параметров проводят по методу 500-1 OCT 11 073.013, в режимах и условиях, указанных в таблице 4.

Суммарная погрешность измерения электрических параметров, установленная в таблице 4, определяется погрешностью установки испытательных режимов, погрешностью измерения физической величины параметра (напряжения, тока и т.п.),

Годными считаются микросхемы, значения измеряемых параметров которых соответствует указанным в таблице 4.

3.3.5 Проверка устойчивости при механических воздействиях

3.3.5.1 Испытания на виброустойчивость проводят по методу 102-1 OCT 11 073.013 по XII степени жесткости.

Испытание на вибропрочность не проводят для микросхем К1347АП4Р в корпусе 2103.16-Е (монолитный корпус).

3.3.5.2 Испытание на вибропрочность проводят по методу 103-1.3 ОСТ 11 073.013. Степень жесткости – XII.

Испытание на вибропрочность не проводят для микросхем К1347АП4Р в корпусе 2103.16-Е (монолитный корпус).

- 3.3.5.3 Испытание на воздействие одиночных ударов проводят по методу 106-1 OCT 11 073.013. Степень жесткости IV.
- 3.3.5.4 Испытания на воздействие многократных ударов проводят по методу 104-1 ГОСТ 11 073.013. Степень жесткости IV.

3.3.5.5 Испытание на воздействие линейного ускорения проводят по методу 107-1 ОСТ 11~073.013. Степень жесткости — XII. Направление воздействия — y_2 .

Испытание на воздействие линейных нагрузок не проводят для микросхем К1347АП4Р в корпусе 2103.16-Е (монолитный корпус).

3.3.6 Проверка устойчивости при климатических воздействиях

3.3.6.1 Испытание на воздействие пониженной рабочей температуры среды проводят по методу 203-1 ОСТ 11 073.013.

Микросхемы помещают в камеру с заранее установленной пониженной рабочей температурой среды.

3.3.6.2 Испытание на устойчивость к воздействию повышенной рабочей температуры среды проводят по методу 201-2.1 ОСТ 11 073.013.

Схема включения при испытаниях приведена на рисунке 8.

3.3.6.3 Испытание на устойчивость к изменению температуры среды проводят по методу 205-1 ОСТ 11 073.013.

Время выдержки при каждой температуре – 15 мин.

Количество циклов -5.

Испытание на повышенную предельную и пониженную предельную температуру среды не проводят, а совмещают с испытанием на воздействие изменения температуры среды.

3.3.6.4 Испытание на воздействие атмосферного пониженного давления проводят по методу 209-1 ОСТ 11 073.013.

Схема включения при испытании приведена на рисунке 9.

- 3.3.6.5 Испытание на воздействие атмосферного повышенного давления проводят по методу 210-1 ОСТ 11 073.013.
- 3.3.6.6 Испытание на воздействие повышенной влажности воздуха (длительное) проводят по методу 207-2 ОСТ 11 073.013 с покрытием тремя слоями влагозащитного лака в течение 21 суток при температуре 40 °C под электрической нагрузкой. Схема включения при испытании приведена на рисунке 9.

3.3.7 Проверка надежности

3.3.7.1 Испытание на безотказность проводят по методу 700-1 ОСТ 11.073.013 при температуре 125 °C в предельно допустимых режимах эксплуатации.

Схема включения при испытании приведена на рисунке 8, таблица 9.

- 3.3.7.2 Испытание на долговечность по группе П-6 проводят по методу
- 700-2.1 ОСТ 11 073.013 в течение 1000 часов. Схема включения при испытании приведена на рисунке 8, таблица 9.
- 3.3.7.3 Испытание на долговечность по группе K-11 проводят по методу 700-2.1 ОСТ 11 073.013 при нормальных климатических условиях.

3.3.8 Проверка на соответствие требованиям сохраняемости

Проверку на соответствие требованиям сохраняемости проводят по ГОСТ 21493.

3.3.9 Проверка маркировки

мин.

- 3.3.9.1 Проверка качества и содержания маркировки проводят по методу 407-1 ГОСТ 30668.
- 3.3.9.2 Проверку стойкости маркировки к воздействию очищающих растворителей проводят по методу 407-3 ГОСТ 30668 на микросхемах, у которых маркировка нанесена краской.
- Проверку стойкости к воздействию очищающих растворителей не проводят на микросхемах, у которых маркировка нанесена лазерной гравировкой.
- 3.3.9.3 Проверку требования стойкости микросхем к воздействию моющих средств проводят погружением микросхем, у которых маркировка нанесена краской, в спирто-бензиновую смесь (1 : 1) при температуре (23 + 5) °C на время (5,0 \pm 0,5)
- После изъятия из растворителя микросхемы выдерживают в нормальных климатических условиях по ГОСТ 20.57.406 в течение времени от 1 до 2 ч.
- Микросхемы считаются выдержавшими испытание, если после испытания маркировка разборчива и соответствует образцам внешнего вида, ТУ и конструкторской

нормам категории «С». Проверку требования по стойкости микросхем к воздействию моющих средств

не проводят на микросхемах, у которых маркировка нанесена лазерной гравировкой.

документации, а значение электрических параметров-критериев годности -

3.3.10 Проверка упаковки

408-1.4 ΓΟCT 23088.

3.3.10 Проверка упаковки
2.2.10.1 И

3.3.10.1 Испытание упаковки проводят по методу 404-2 ГОСТ 23088. Испытание упаковки на прочность при свободном падении проводят по методу

При испытании по группе К-8 потребительской индивидуальной (групповой)

тары допускаются незначительные надрывы, наколы, вмятины на бандероли, не нарушающие целостности упаковки.

5 Указание по применению и эксплуатации

5.2 При обращении с микросхемами необходимо применять меры защиты от

требованиями

5.1 Указания по применению и эксплуатации микросхем – по ГОСТ 18725.

5.3 Микросхемы пригодны для монтажа в аппаратуре методом пайки. Прово-

воздействия статического электричества в соответствии с

ОСТ 11 073.062. Допустимое значение статического потенциала 500 В.

Число допускаемых перепаек выводов микросхем при проведении монтажных (сборочных) операций – не более 3-х.

Способы и режимы пайки представлены в таблице 6.

на рисунке 7.

дить монтаж микросхем только в обесточенном состоянии.

Режим и условия монтажа микросхем в аппаратуре по ОСТ 11 073.063.

5.4 Запрещается подводить какие-либо электрические сигналы к выводам мик-

5.4 Запрещается подводить какие-либо электрические сигналы к выводам росхем, не используемым согласно электрической принципиальной схеме.

5.5 Типовая схема включения микросхем К1347АП4Р, К1347АП4Р приведена

Таблица 6 – Способы и режимы пайки микросхем

	Режимы пайки				
Способ пайки микросхем	Максимальная	Максимальное время			
	температура, °С	воздействия, с			
Пайка расплавлением доз паяльных паст					
ИК-излучением:					
- предварительный нагрев;	150	120			
- нагрев при пайке	240	8			
Пайка расплавлением доз паяльных паст в					
паровой фазе жидкости-тепло-носителе:					
- предварительный нагрев;	165	10			
- нагрев при пайке	240	30			

6 Справочные данные

Справочные данные – по ГОСТ 18725 с дополнениями и уточнениями, приведенными в настоящем разделе.

6.1 Зависимости основных электрических параметров микросхем от режимов и условий эксплуатации приведены на рисунках 28 – 55.

Графические зависимости основных электрических параметров, приведенных на рисунках 28-55, определяют характер их изменения в зависимости от режимов и условий применения микросхем и не устанавливают граничных значений этих параметров.

- 6.2 Наработка микросхем в режимах и условиях, установленных техническими условиями, должна быть не менее 50000 ч, а в облегченных режимах, которые приводят в ТУ, не менее 60000 ч.
- 6.3 Предельно допустимая температура p-n перехода кристалла не более 150 °C.
 - 6.5 Тепловое сопротивление кристалл-корпус:
 - не более 50 °C/Вт для микросхем в корпусе 2103.16-Е.
 - не более 30 °C/Вт для микросхем в корпусе 4105.14-16.
- 6.6 Сведения о применении в микросхеме драгоценных и цветных металлов с указанием их номенклатуры и количества приведены в этикетке, прилагаемой к упакованным микросхемам.

7 Гарантии предприятия-изготовителя 7.1 Гарантии предприятия-изготовителя – по ГОСТ 18725.

7.3 Гарантийная наработка 50000 ч. в пределах гарантийного срока хранения.

7.2 Гарантийный срок хранения 10 лет со дня изготовления.

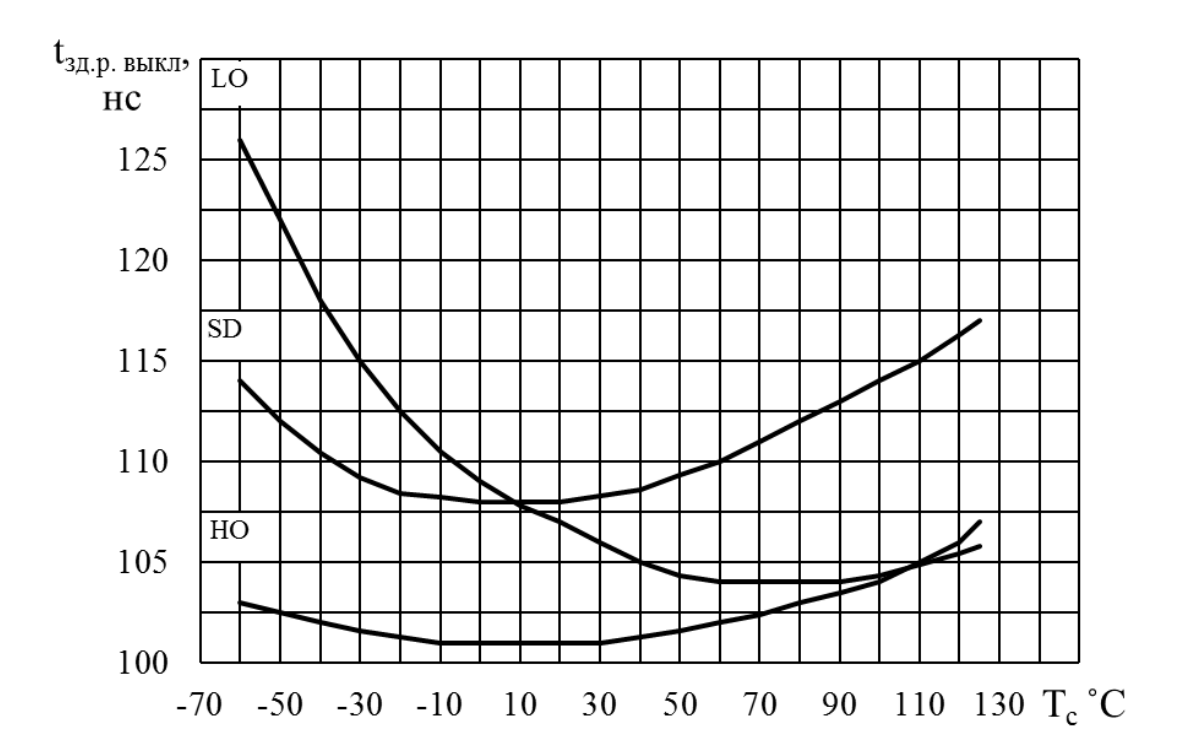


Рисунок 28 — Зависимости времени задержки распространения при выключении от температуры окружающей среды T_c при емкости нагрузки $C_{\rm H}$ = $1000~{\rm n\Phi}$, при $U_{\rm VDD}$ = $U_{\rm VCC}$ = $U_{\rm VB}$ = 15~B для микросхем К1347АП4Р и К1347АП4Т

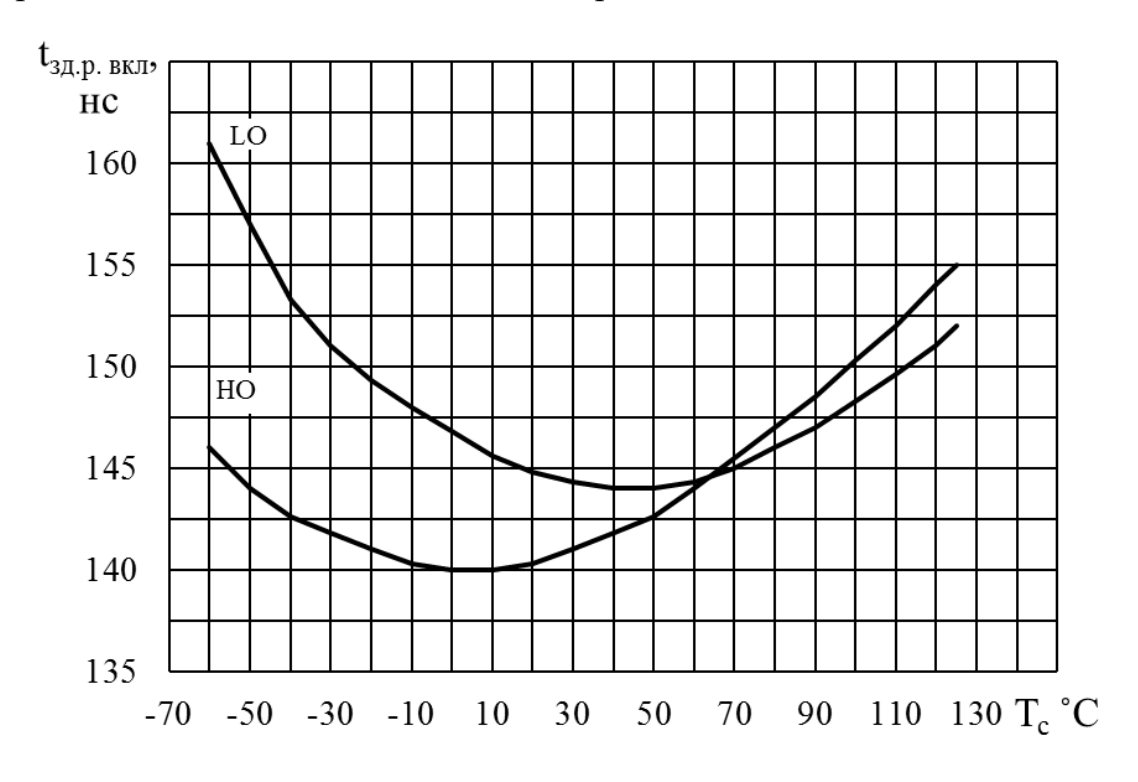


Рисунок 29 — Зависимости времени задержки распространения при включении от температуры окружающей среды T_c при емкости нагрузки $C_H = 1000$ пФ, при $U_{VDD} = U_{VCC} = U_{VB} = 15$ В для микросхем К1347АП4Р и К1347АП4Т

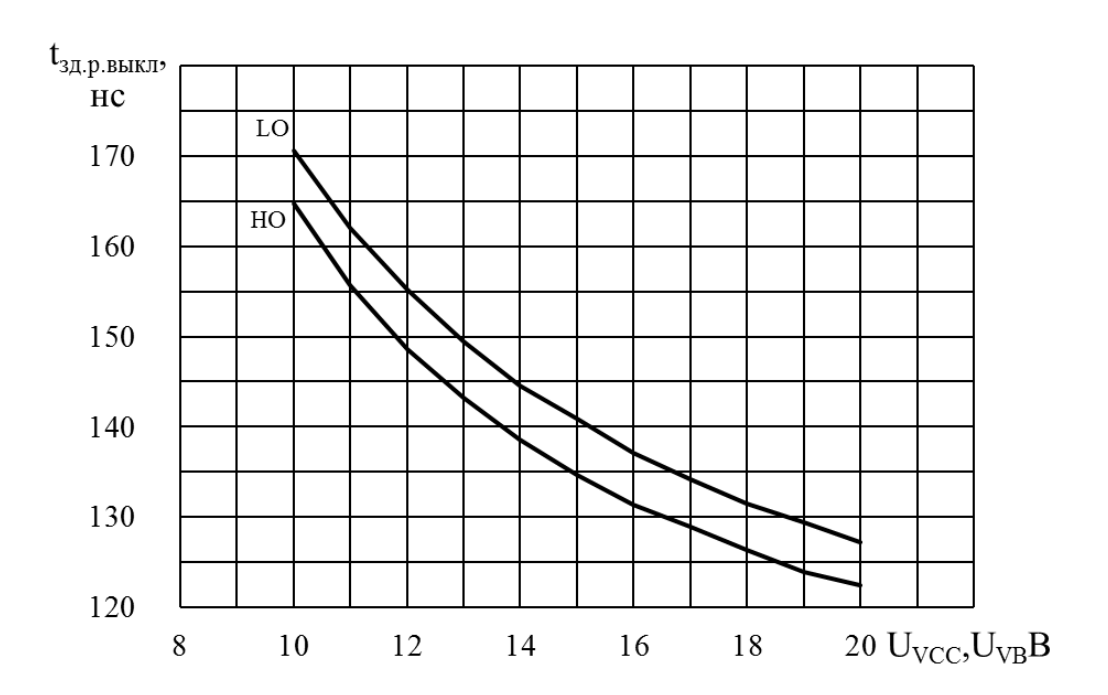


Рисунок 30-3ависимости времени задержки распространения при выключении от напряжения питания $U_{VCC}=U_{VB}$ при емкости нагрузки $C_{\rm H}=1000$ пФ, при $U_{VDD}=15$ В, при температуре окружающей среды $T_{\rm c}=(25\pm10)$ °C для микросхем К1347АП4Р, К1347АП4Т

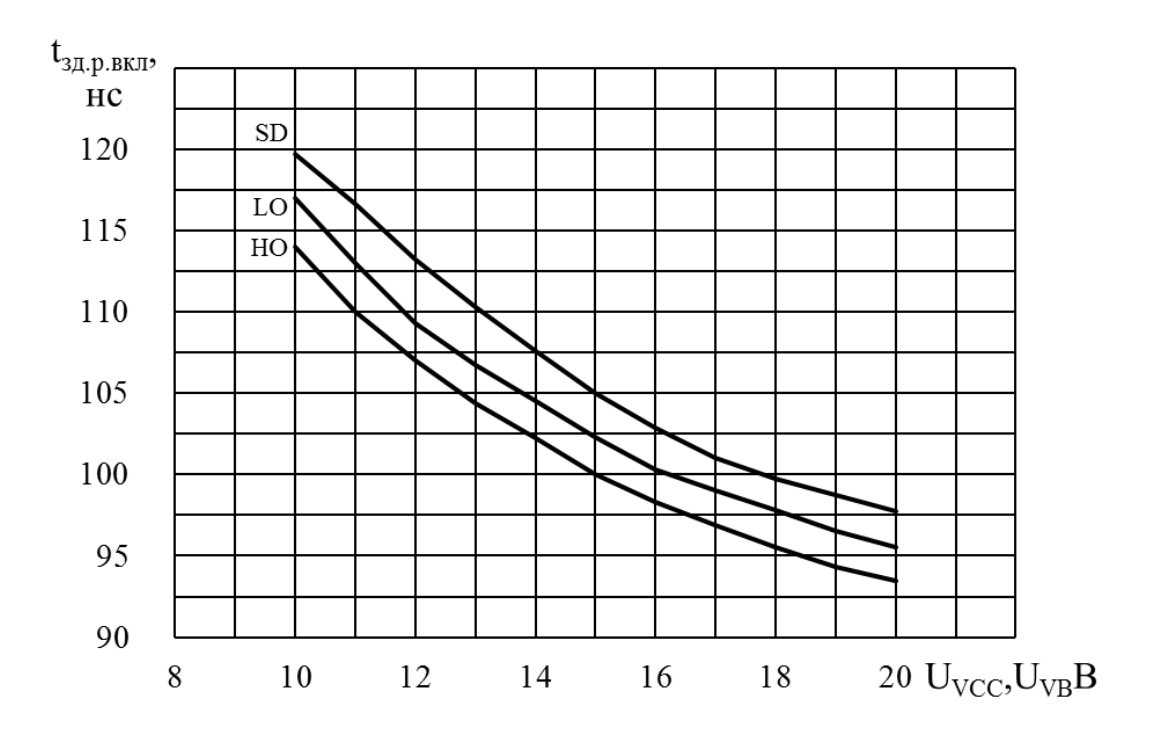


Рисунок 31 — Зависимости времени задержки распространения при включении от напряжения питания $U_{VCC}=U_{VB}$ при емкости нагрузки $C_{\rm H}=1000$ пФ, при $U_{VDD}=15$ В, при температуре окружающей среды $T_{\rm c}=(25\pm10)$ °C для микросхем $K1347A\Pi4P,\,K1347A\Pi4T$

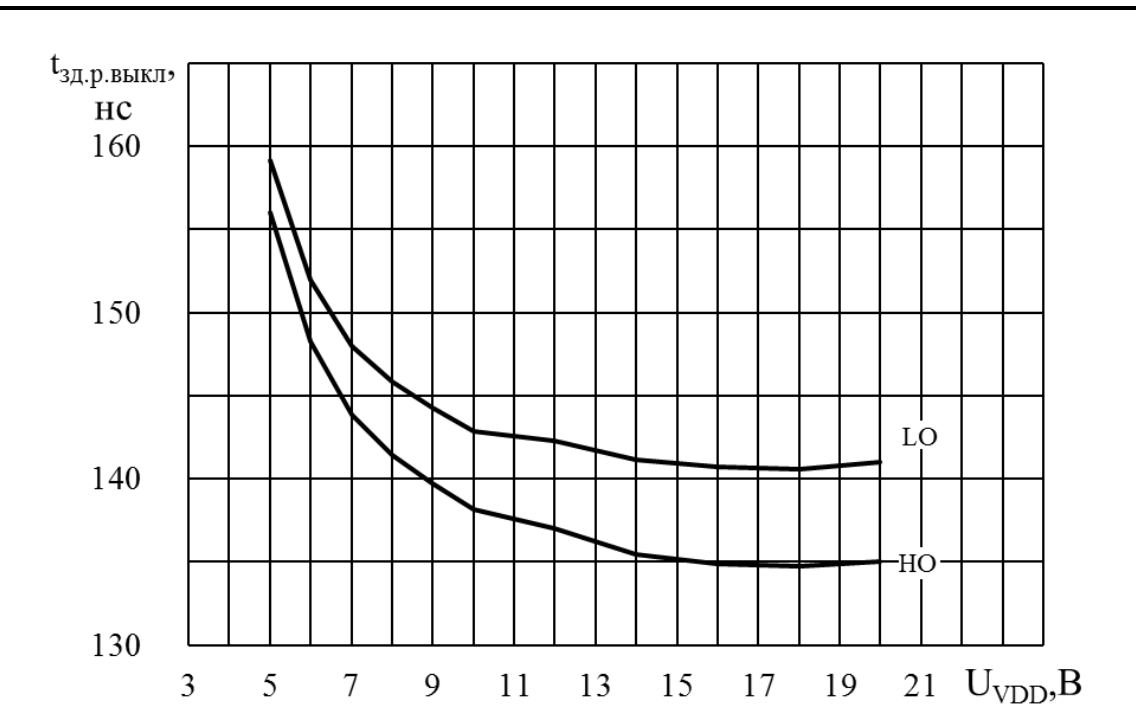


Рисунок 32 — Зависимости времени задержки распространения при выключении от напряжения питания U_{VDD} при емкости нагрузки $C_{\rm H}$ = 1000 пФ, при U_{VCC} = U_{VB} = 15 B, при температуре окружающей среды $T_{\rm c}$ = (25 ± 10) °C для микросхем К1347АП4Р и К1347АП4Т

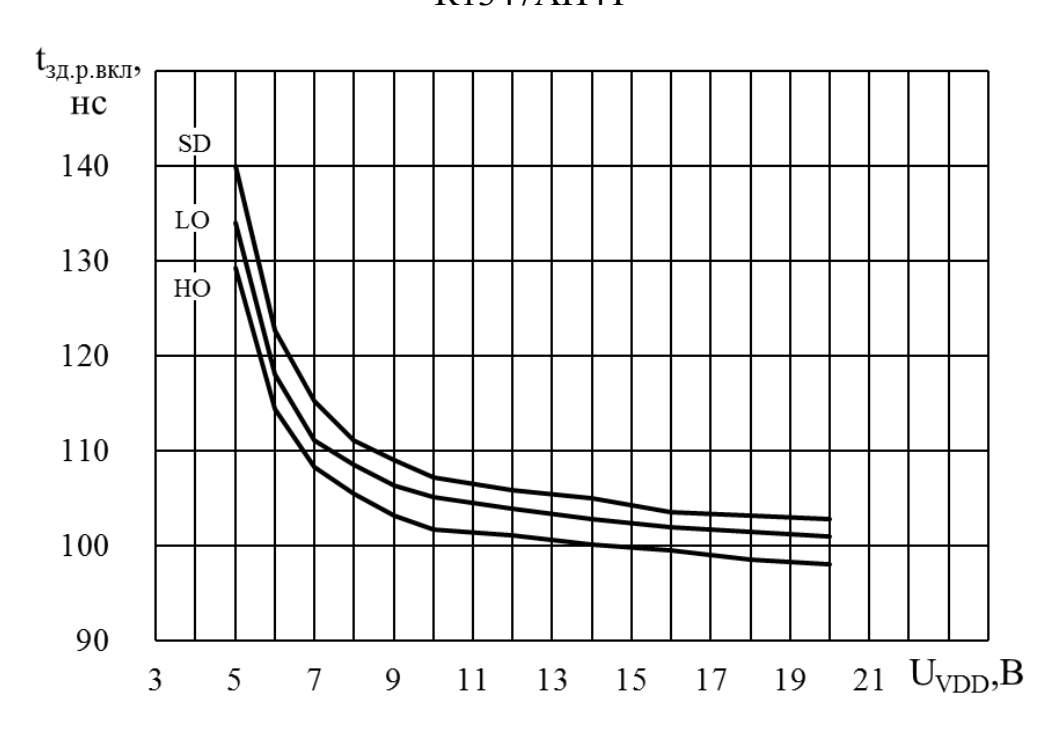


Рисунок 33 — Зависимости времени задержки распространения при включении от напряжения питания U_{VDD} при емкости нагрузки $C_{\rm H}$ = 1000 пФ, при U_{VCC} = U_{VB} = 15 B, при температуре окружающей среды $T_{\rm c}$ = (25 ± 10) °C для микросхем К1347АП4Р и К1347АП4Т

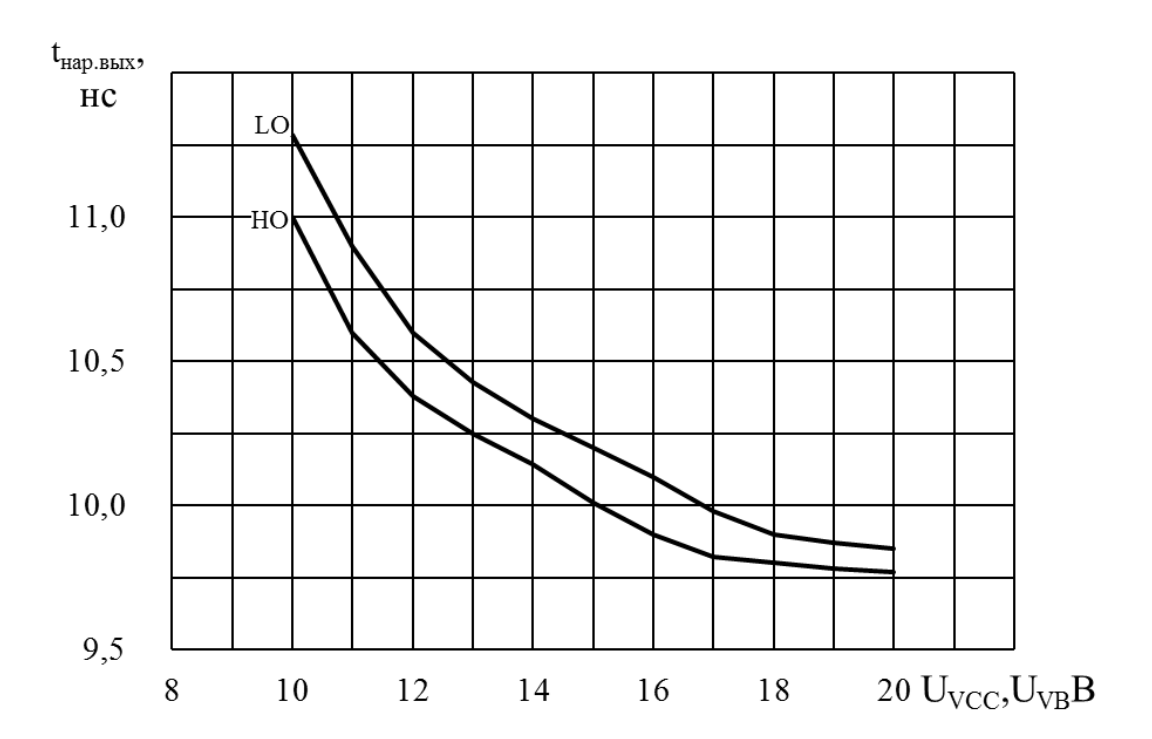


Рисунок 34 — Зависимости времени нарастания выходного сигнала от напряжения питания $U_{VCC} = U_{VB}$ при емкости нагрузки $C_{\rm H} = 1000$ пФ, при $U_{VDD} = 15$ В, при температуре окружающей среды $T_{\rm c} = (25 \pm 10)$ °C для микросхем К1347АП4Р и К1347АП4Т

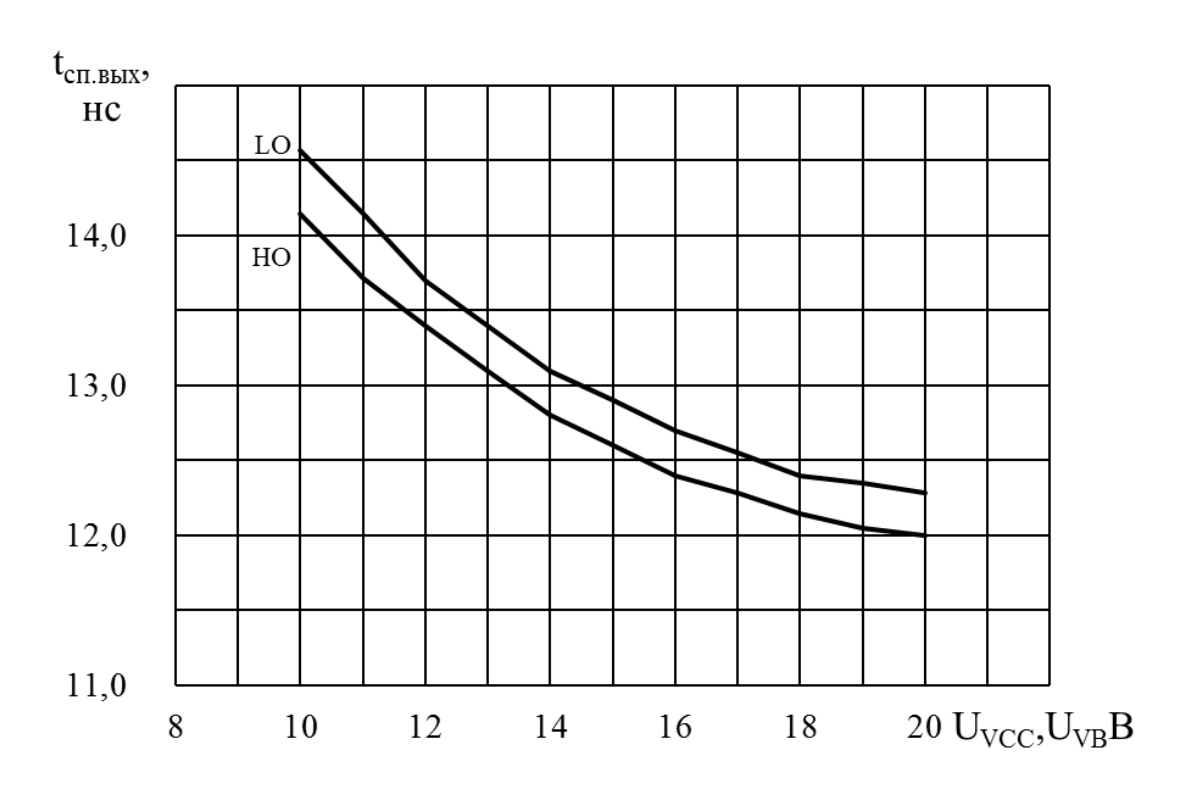


Рисунок 35 — Зависимости времени спада выходного сигнала от напряжения питания $U_{VCC}=U_{VB}$ при емкости нагрузки $C_{\scriptscriptstyle H}=1000$ п Φ , при $U_{VDD}=15$ B, при температуре окружающей среды $T_{c}=(25\pm10)$ °C для микросхем К1347АП4Р и К1347АП4Т

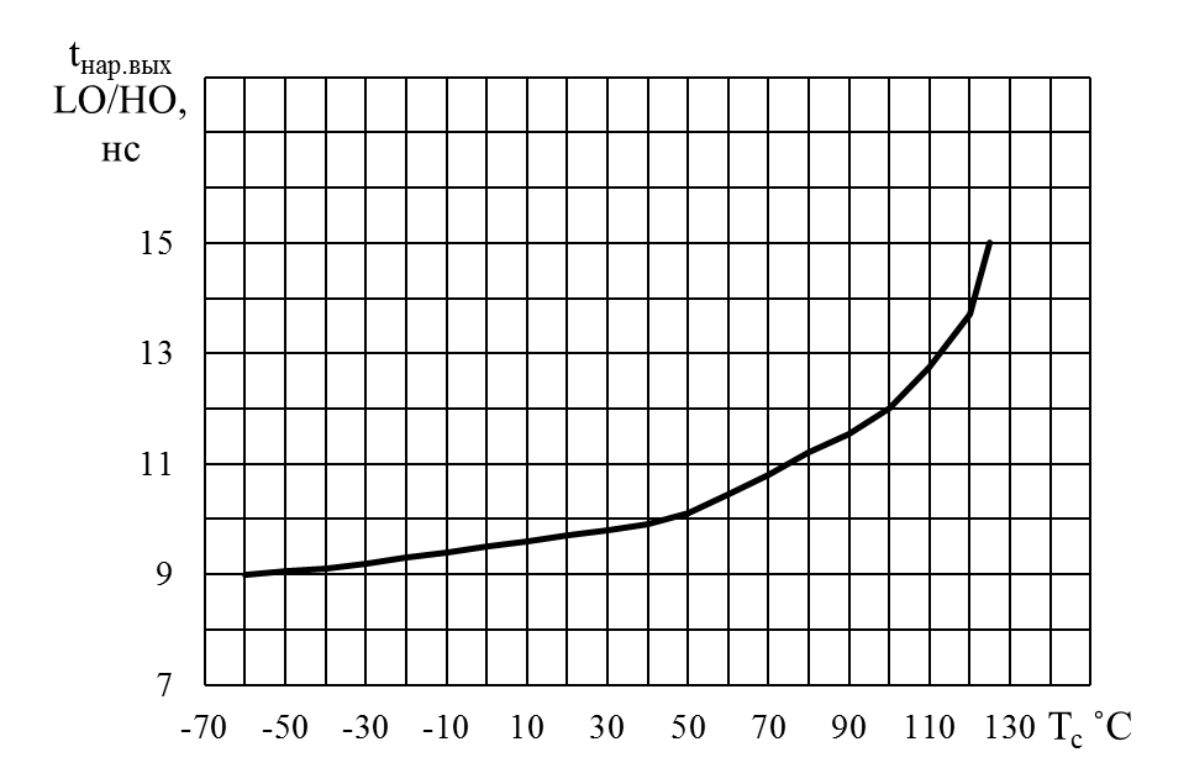


Рисунок 36 — Зависимости времени нарастания выходного сигнала от температуры окружающей среды T_c при емкости нагрузки C_H = 1000 пФ, при U_{VDD} = U_{VCC} = U_{VB} = 15 В для микросхем К1347АП4Р и К1347АП4Т

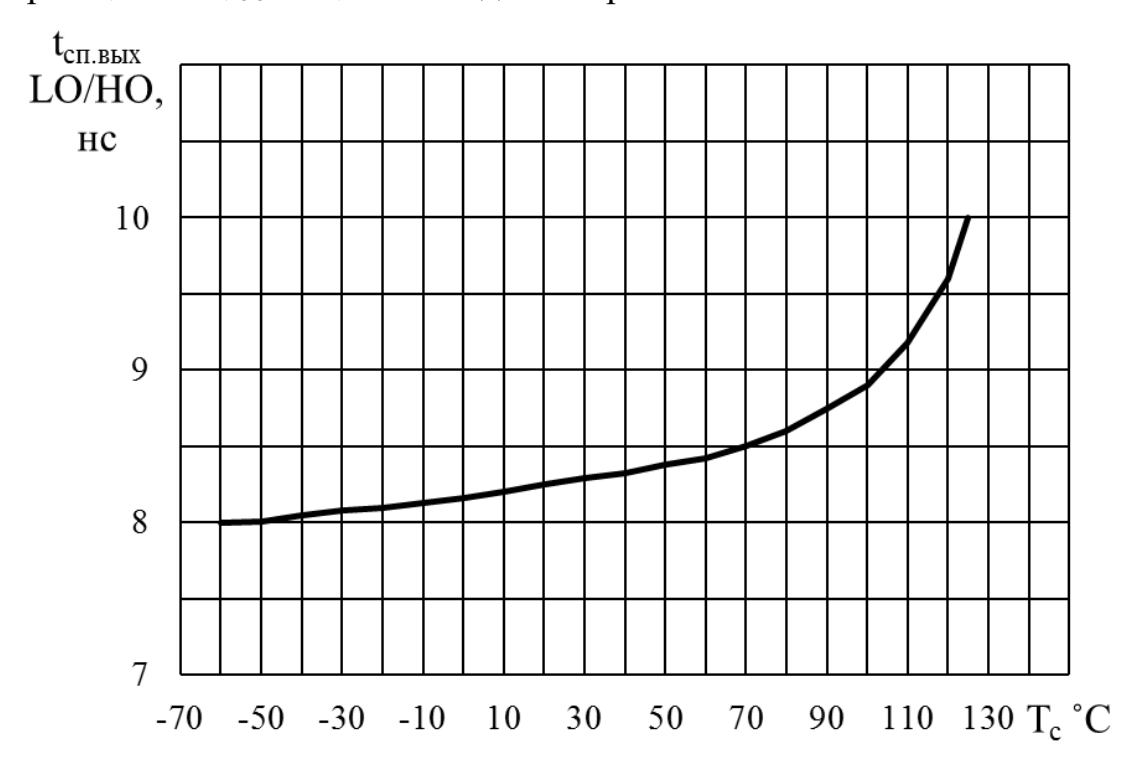


Рисунок 37 — Зависимости времени спада выходного сигнала от температуры окружающей среды T_c при емкости нагрузки $C_{\rm H}=1000$ пФ, при $U_{\rm VDD}=U_{\rm VCC}=U_{\rm VB}=15~{\rm B}$ для микросхем К1347АП4Р и К1347АП4Т

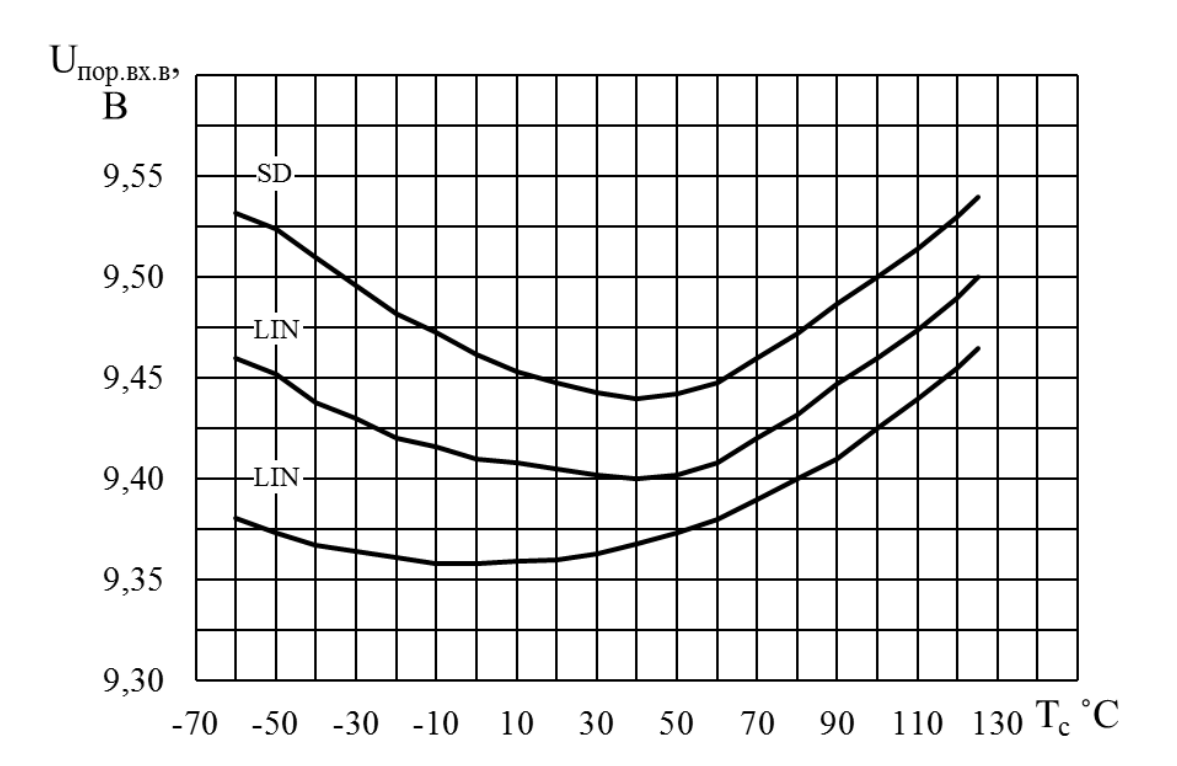


Рисунок 38 — Зависимости входного порогового напряжения высокого уровня от температуры окружающей среды T_c при $U_{VDD} = U_{VCC} = U_{VB} = 15~B$ для микросхем $K1347A\Pi4P$ и $K1347A\Pi4T$

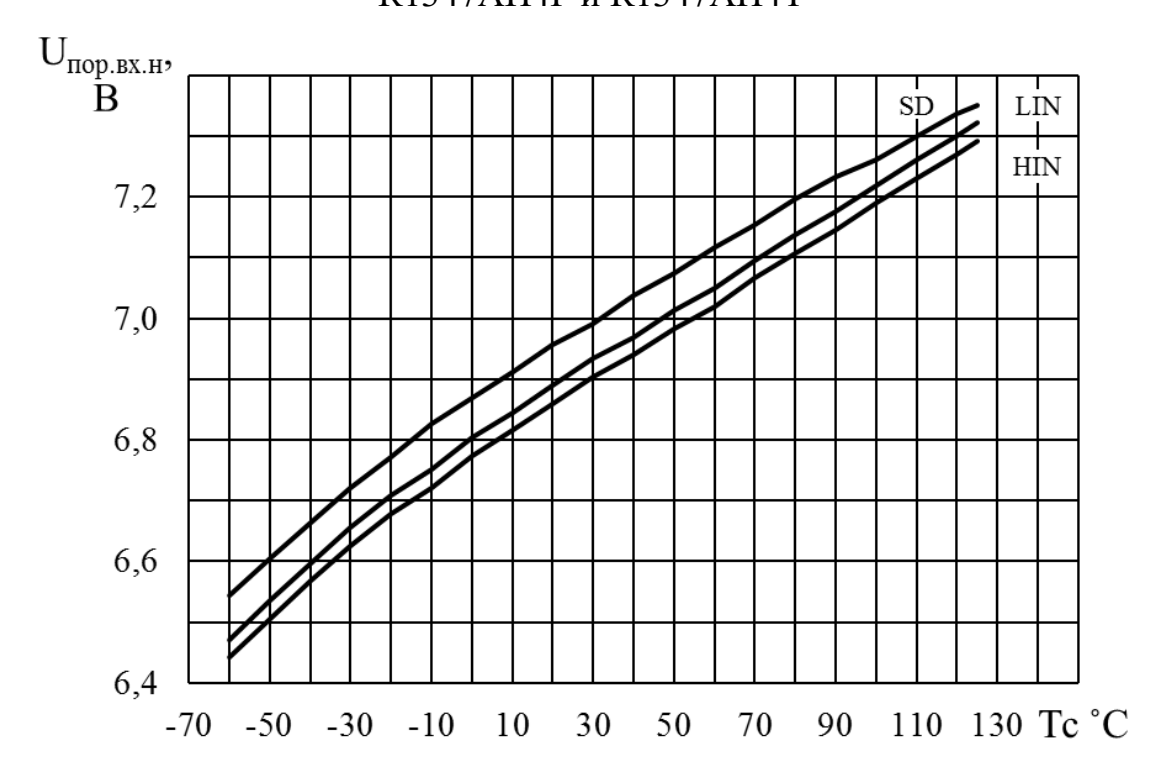


Рисунок 39 — Зависимости входного порогового напряжения низкого уровня от температуры окружающей среды T_c при $U_{VDD} = U_{VCC} = U_{VB} = 15~B$ для микросхем $K1347A\Pi 4P~u~K1347A\Pi 4T$

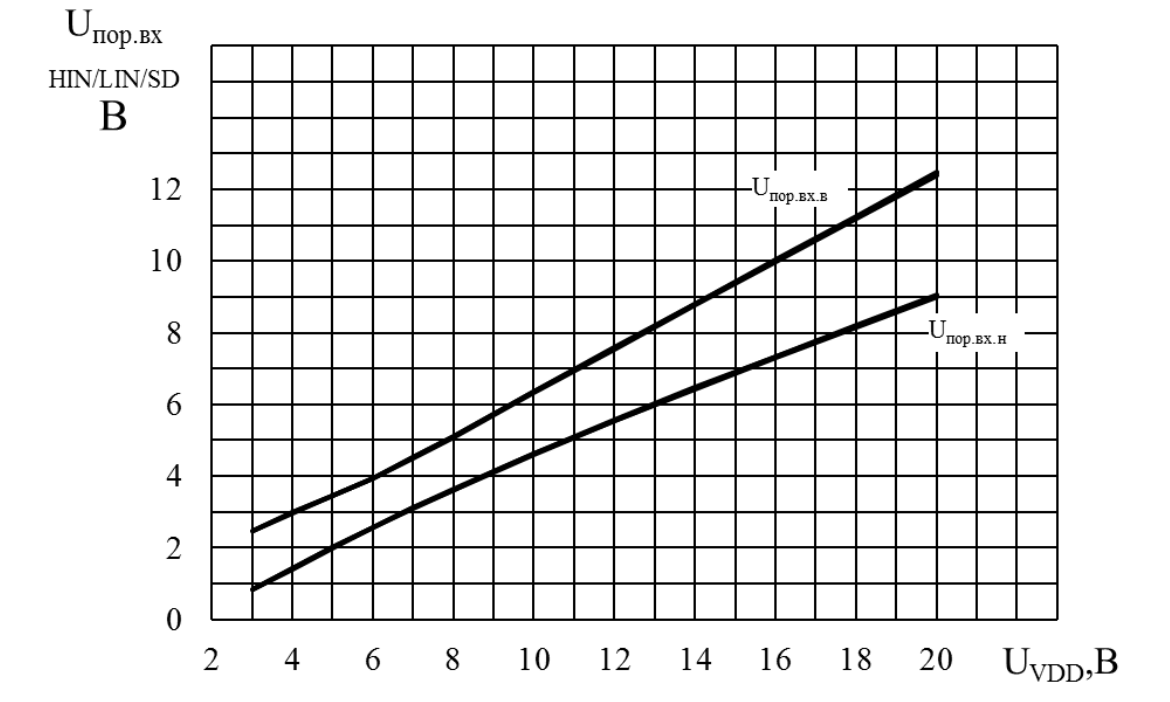


Рисунок 40 — Зависимости входного порогового напряжения высокого и низкого уровня от напряжения питания U_{VDD} при емкости нагрузки $C_{\rm H}$ = 1000 пФ, при $U_{VCC} = U_{VB} = 15$ В, при температуре окружающей среды $T_{\rm c} = (25 \pm 10)$ °C для микросхем К1347АП4Р и К1347АП4Т

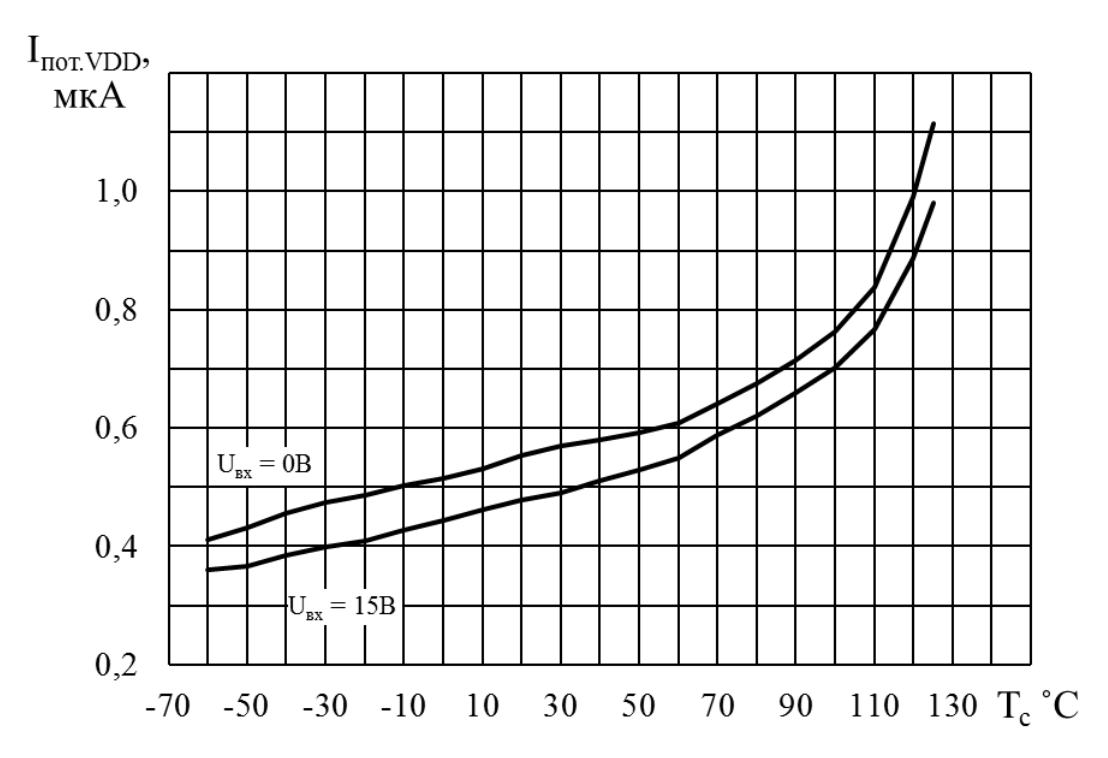


Рисунок 41 — Зависимости тока потребления VDD при выходном напряжении низкого и высокого уровня от температуры окружающей среды T_c при $U_{VDD} = U_{VCC} = U_{VB} = 15~B$ для микросхем К1347АП4Р и К1347АП4Т

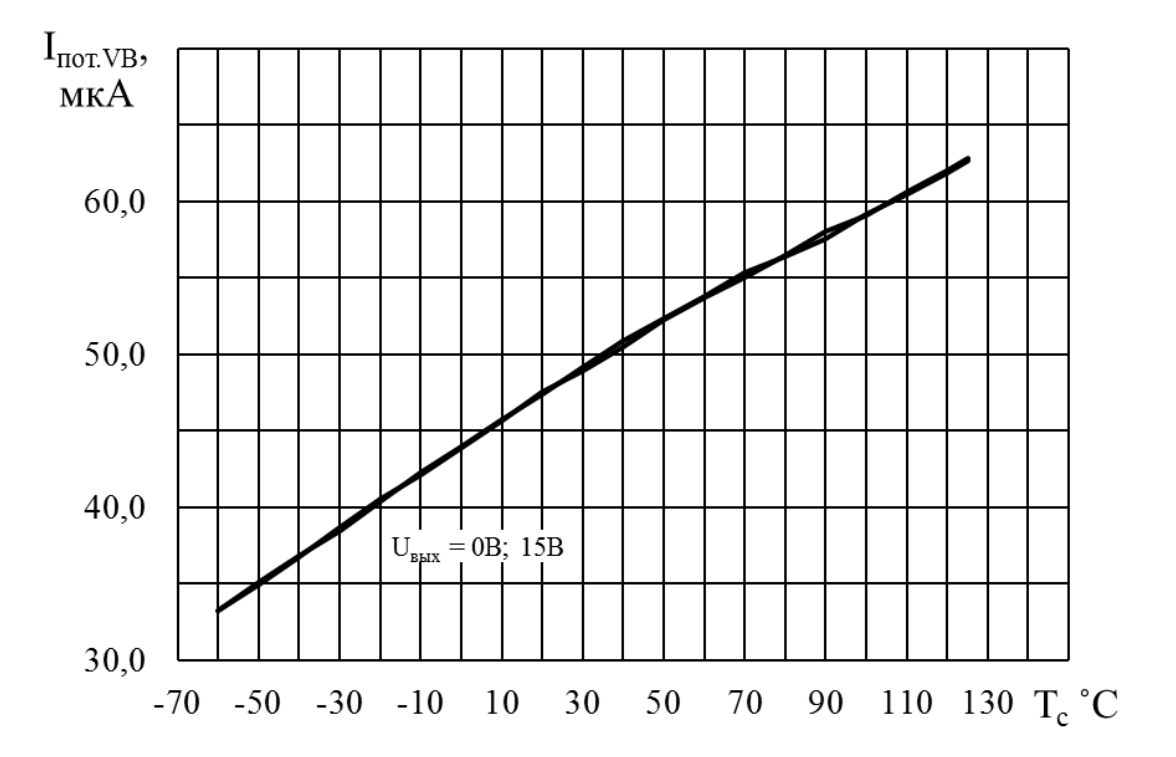


Рисунок 42 — Зависимости тока потребления VB при выходном напряжении низкого и высокого уровня от температуры окружающей среды T_c при $U_{VDD} = U_{VCC} = U_{VB} = 15$ В для микросхем К1347АП4Р и К1347АП4Т

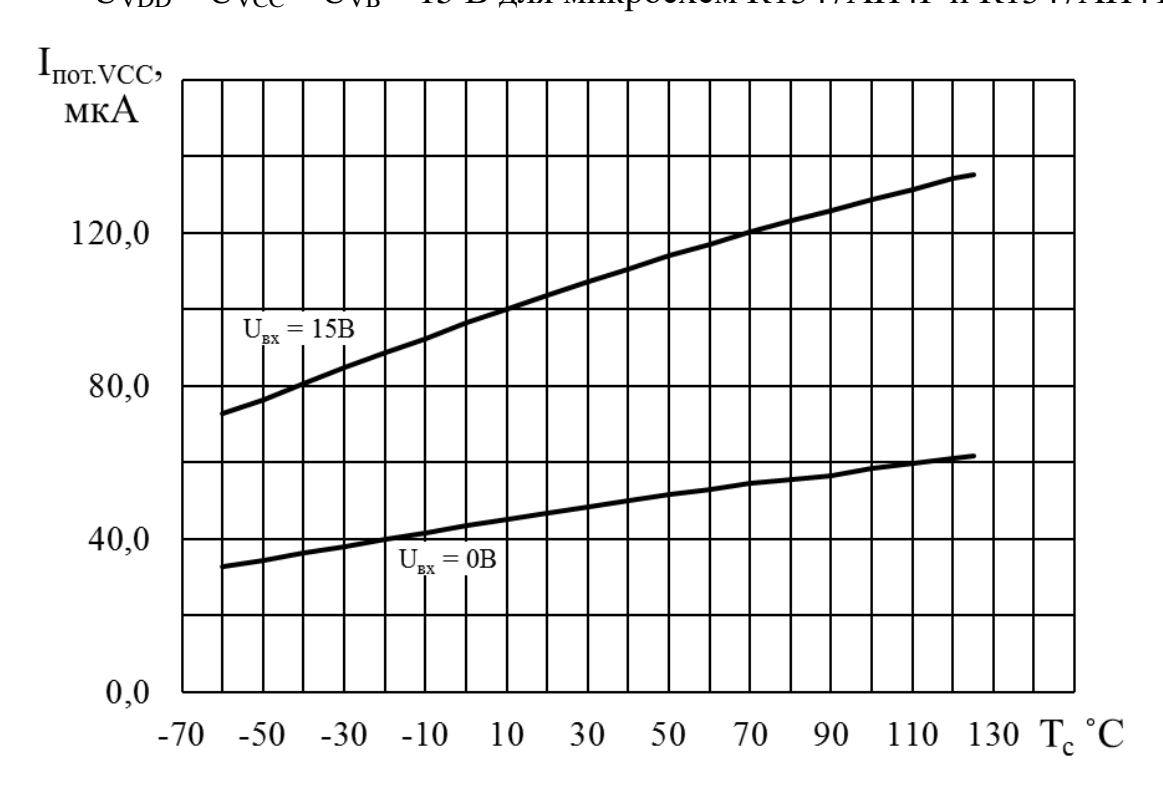


Рисунок 43 — Зависимости тока потребления VCC при выходном напряжении низкого и высокого уровня от температуры окружающей среды T_c при $U_{VDD} = U_{VCC} = U_{VB} = 15~B$ для микросхем К1347АП4Р и К1347АП4Т

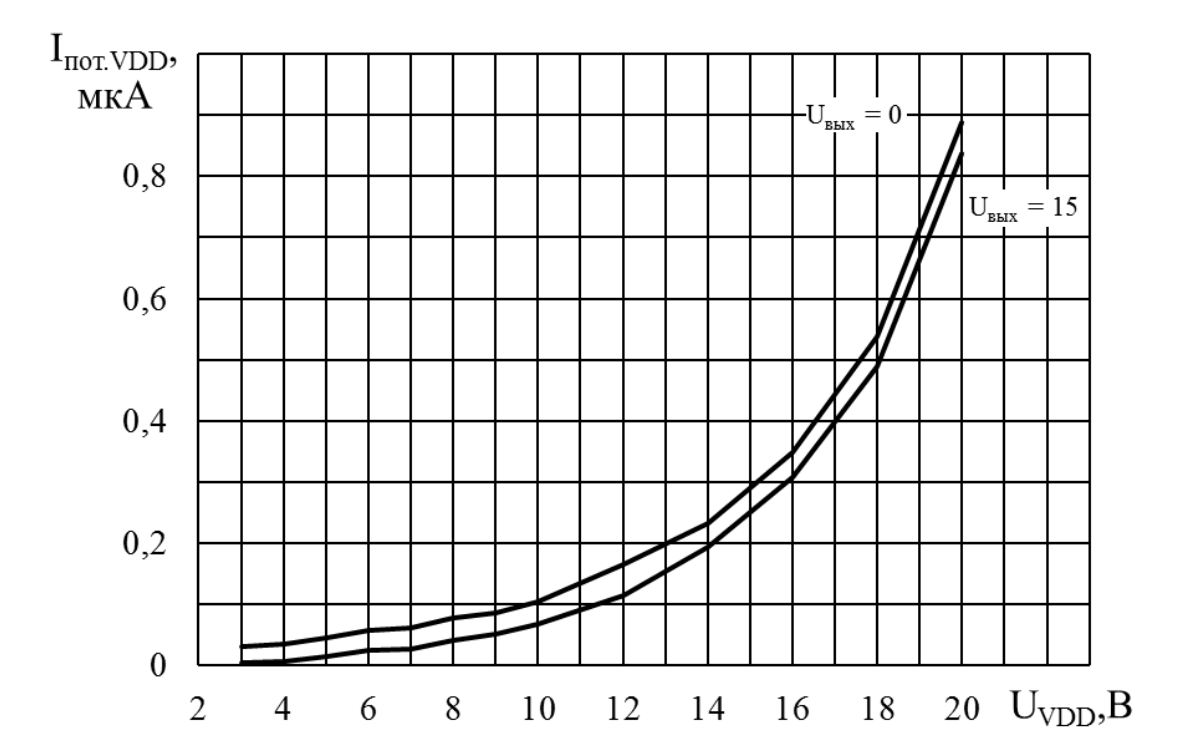


Рисунок 44 — Зависимости тока потребления VDD при выходном напряжении низкого и высокого уровня от напряжения питания U_{VDD} при температуре окружающей среды $T_c = (25 \pm 10)$ °C для микросхем К1347АП4Р и К1347АП4Т

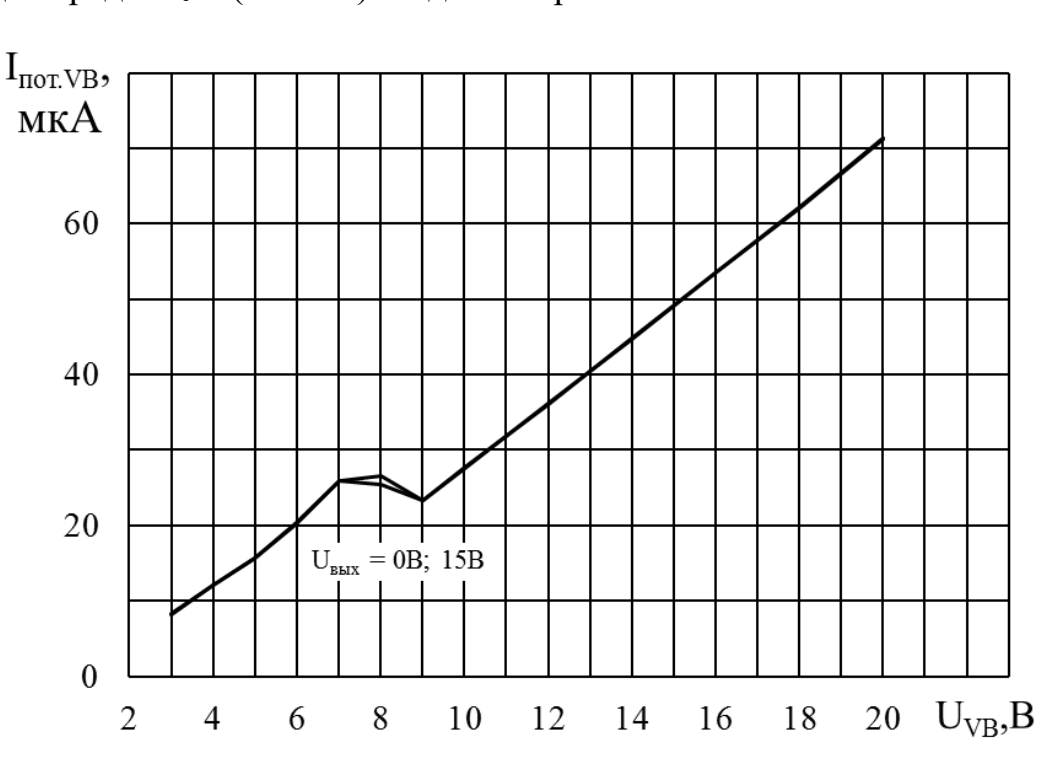


Рисунок 45 — Зависимости тока потребления VB при выходном напряжении низкого и высокого уровня от напряжения питания U_{VB} при температуре окружающей среды $T_c = (25 \pm 10)~^{\circ}\mathrm{C}$ для микросхем К1347АП4Р и К1347АП4Т

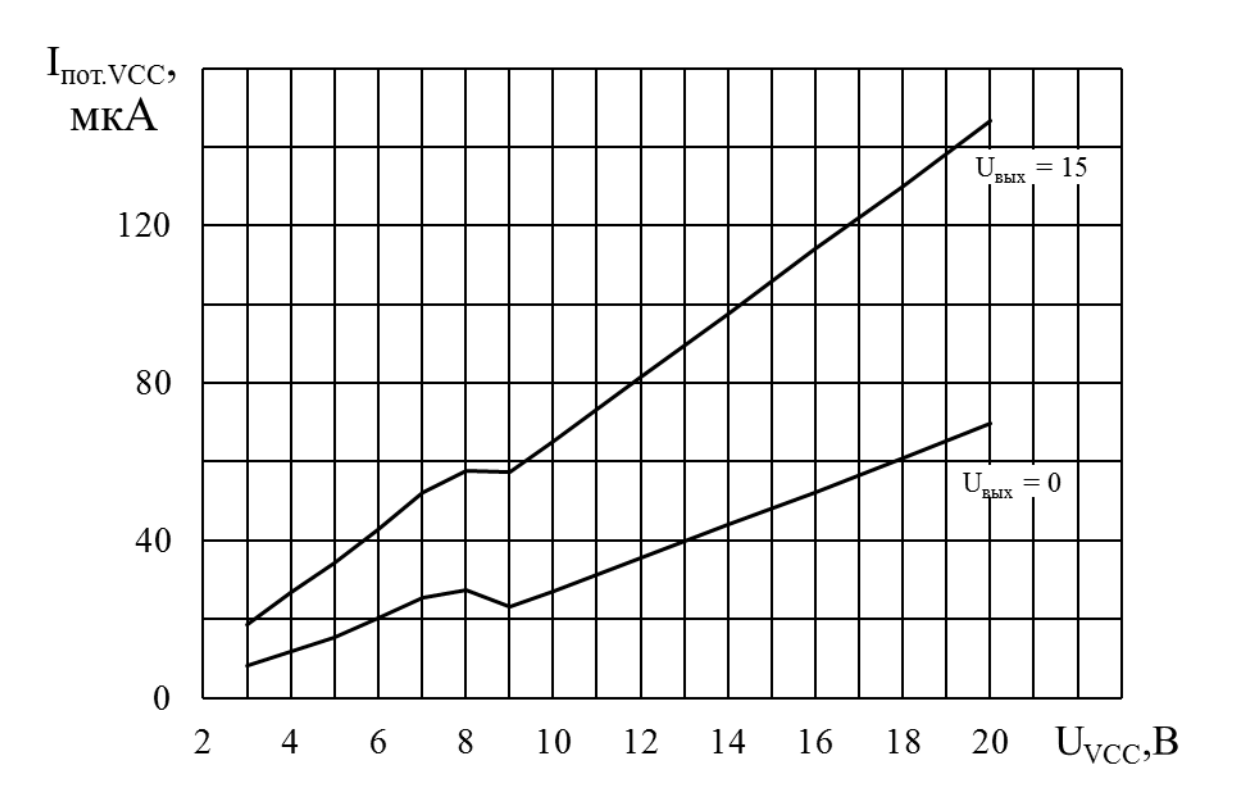


Рисунок 46 — Зависимости тока потребления VCC при выходном напряжении низкого и высокого уровня от напряжения питания U_{VCC} при температуре окружающей среды $T_c = (25 \pm 10)$ °C для микросхем К1347АП4Р и К1347АП4Т

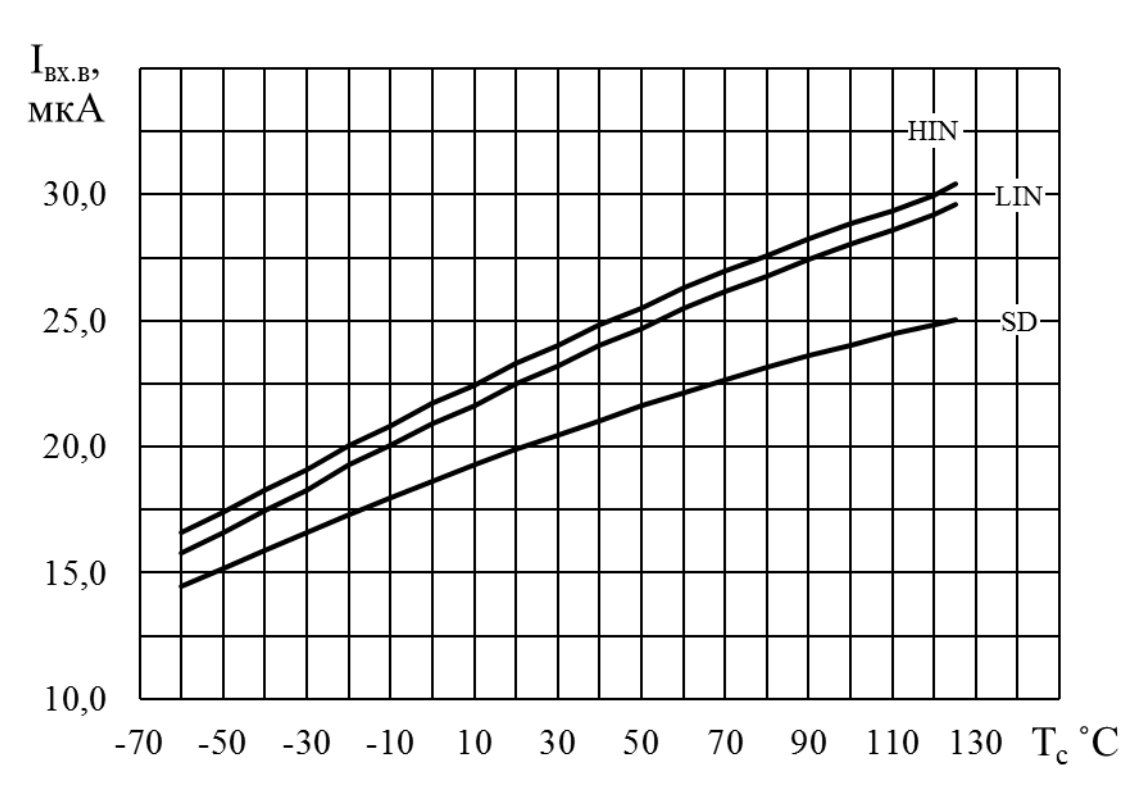


Рисунок 47 — Зависимости входного тока высокого уровня от температуры окружающей среды T_c при $U_{VDD} = U_{VCC} = U_{VB} = 15~B$ для микросхем $K1347A\Pi4P$ и $K1347A\Pi4T$

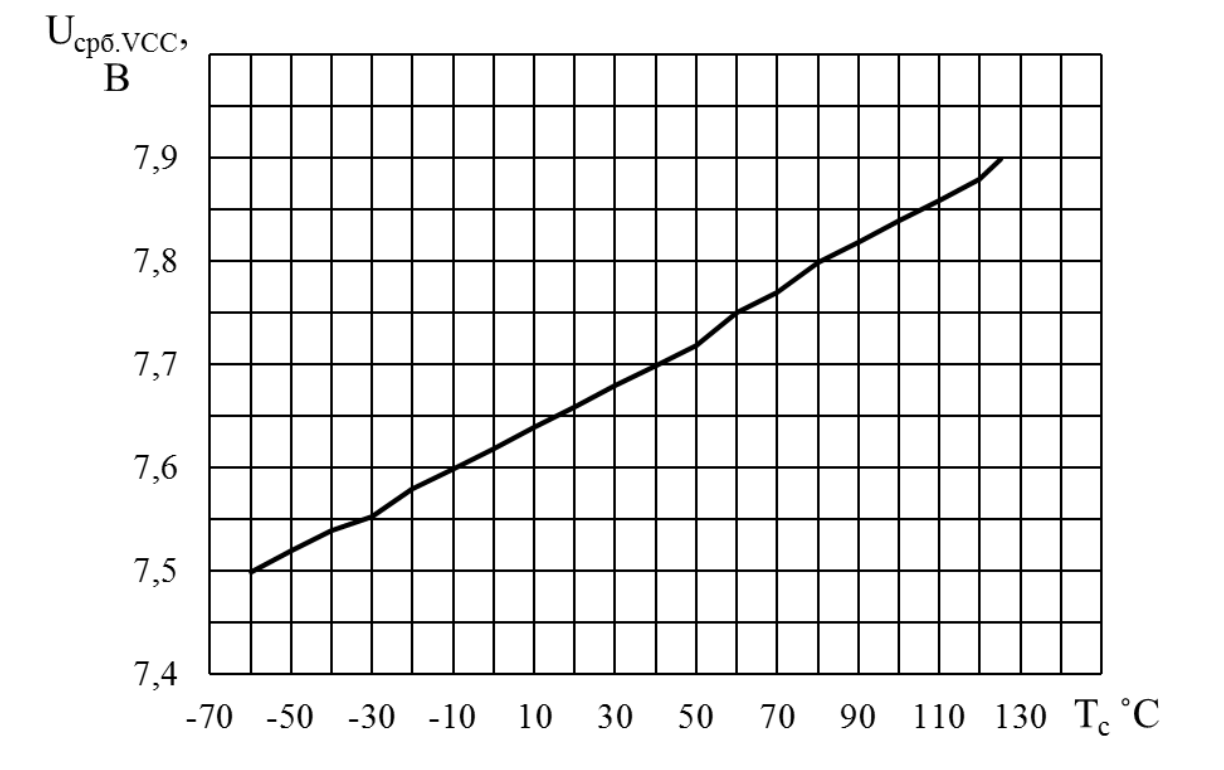


Рисунок 48 — Зависимость напряжения срабатывания защиты при снижении напряжения VCC от температуры окружающей среды T_c , для микросхем $K1347A\Pi4P$, $K1347A\Pi4T$

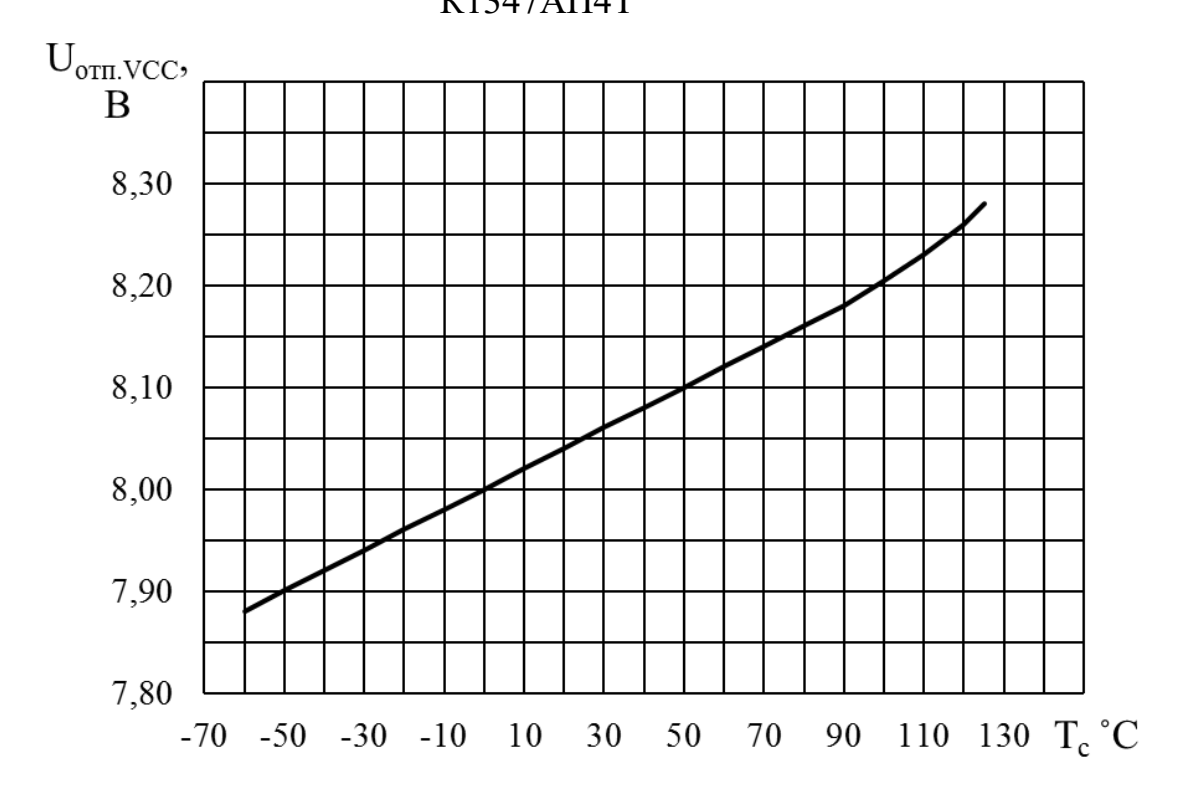


Рисунок 49 — Зависимость напряжения отпускания защиты при снижении напряжения VCC от температуры окружающей среды T_c для микросхем K1347AП4P и K1347AП4T

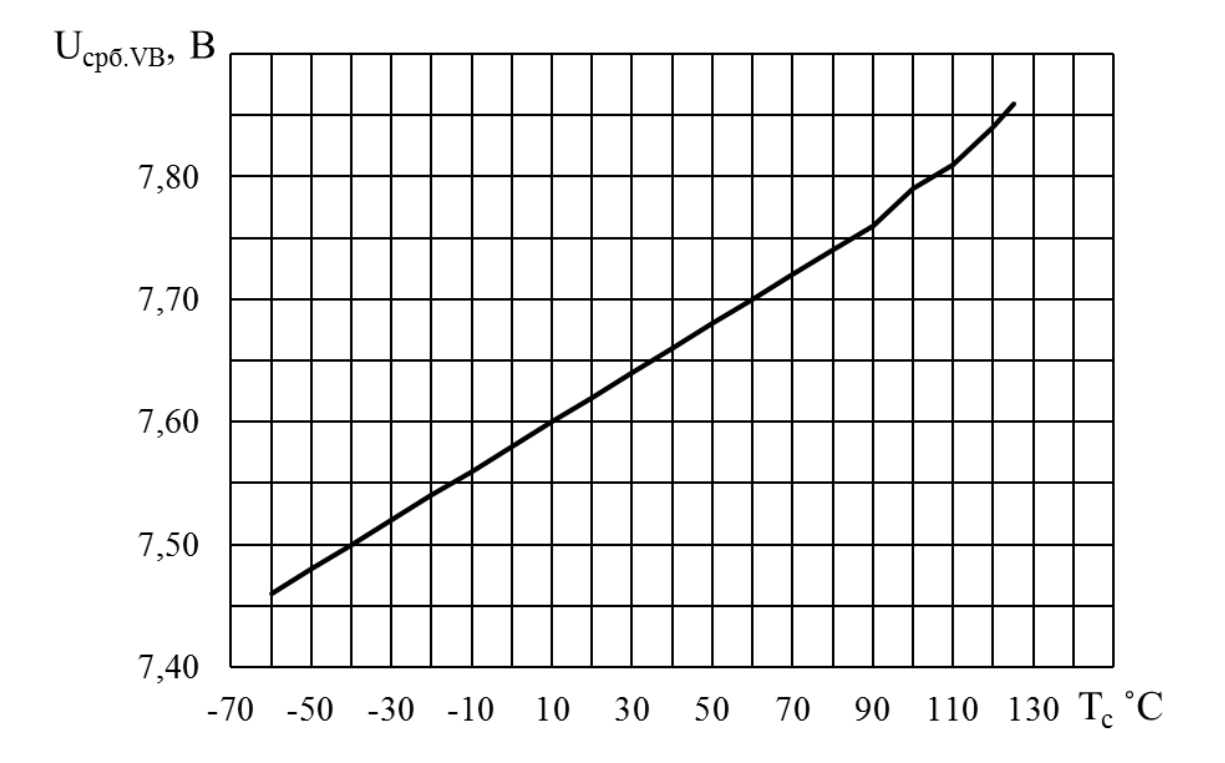


Рисунок 50 — Зависимость напряжения срабатывания защиты при снижении напряжения VB от температуры окружающей среды T_c для микросхем $K1347A\Pi4P$ и $K1347A\Pi4T$

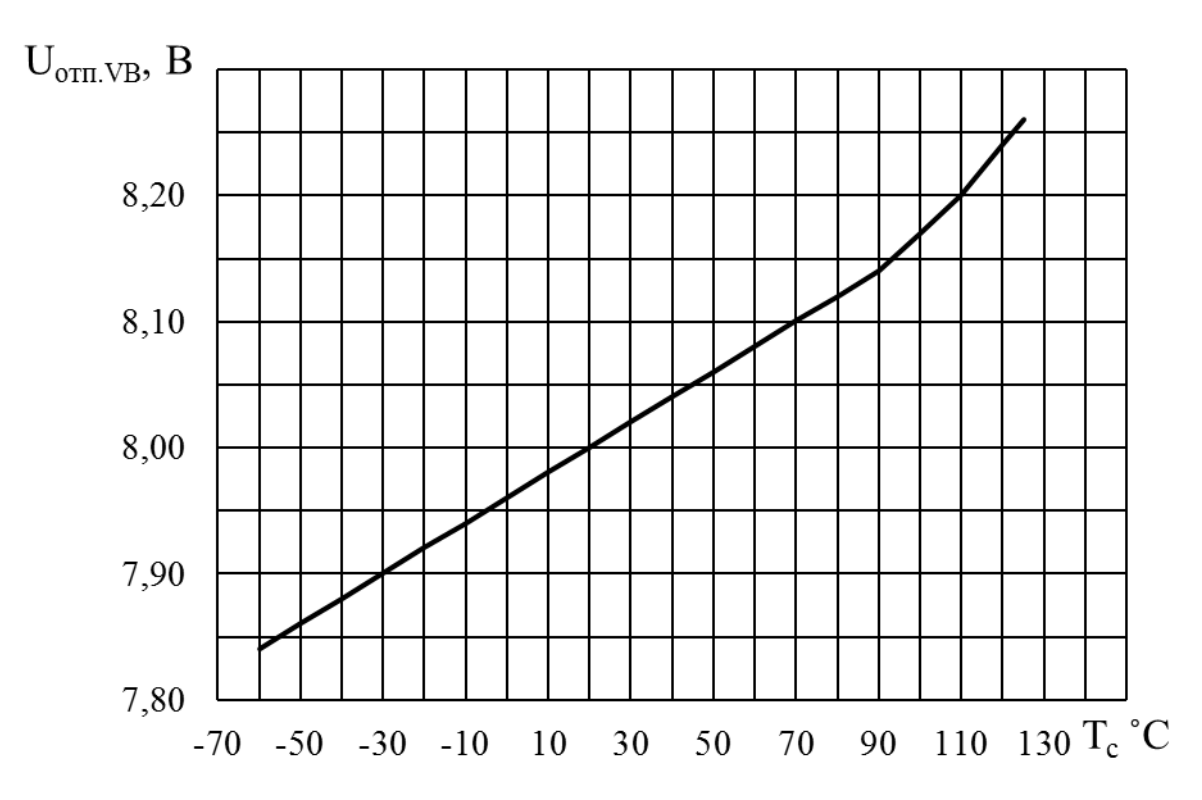


Рисунок 51—Зависимость напряжения отпускания защиты при снижении напряжения VB от температуры окружающей среды T_c для микросхем K1347AП4P и K1347AП4T

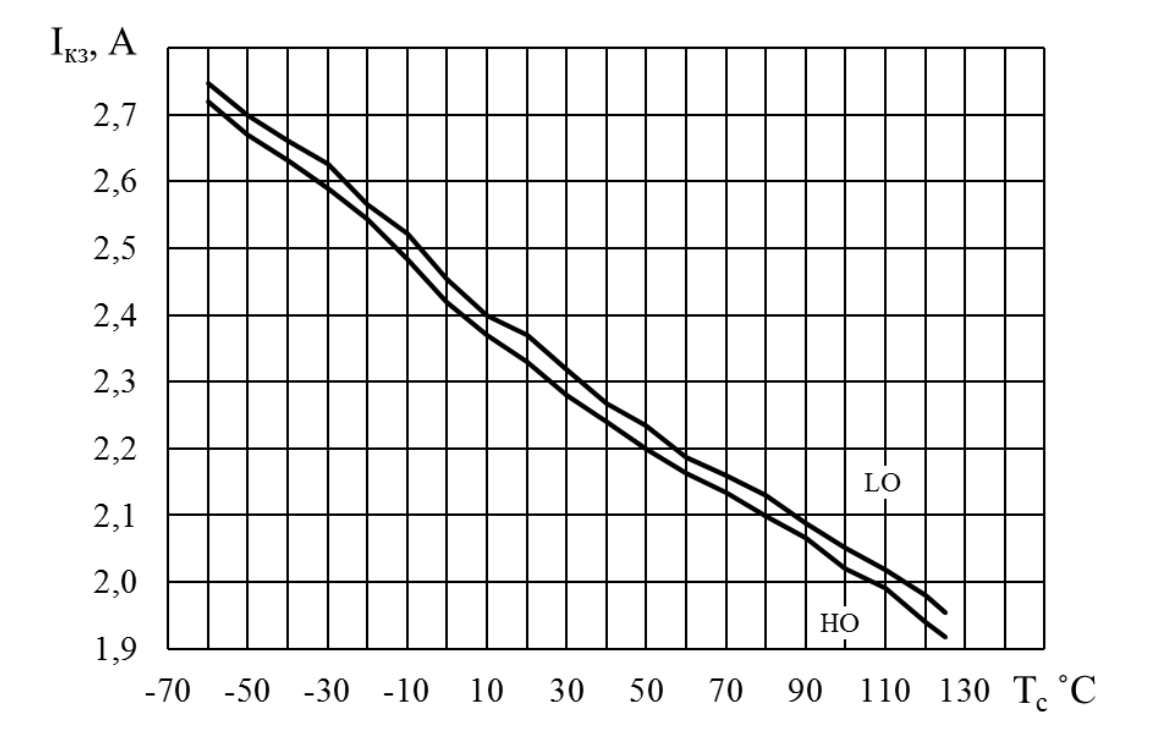


Рисунок 52-3ависимости импульсного выходного тока в режиме короткого замыкания на вывод земля от температуры окружающей среды T_c при $U_{VDD} = U_{VCC} = U_{VB} = 15~B$ для микросхем $K1347A\Pi4P$ и $K1347A\Pi4T$

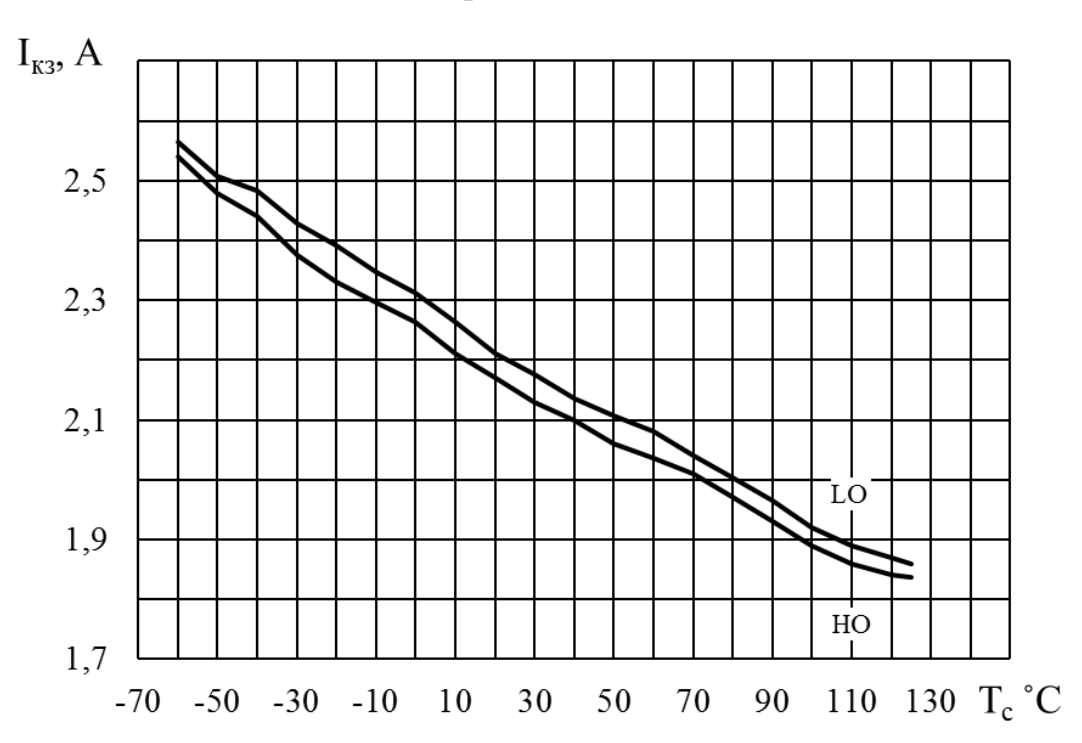


Рисунок 53 — Зависимости импульсного выходного тока в режиме короткого замыкания на вывод питания от температуры окружающей среды T_c при $U_{VDD} = U_{VCC} = U_{VB} = 15~B$ для микросхем $K1347A\Pi4P$ и $K1347A\Pi4T$

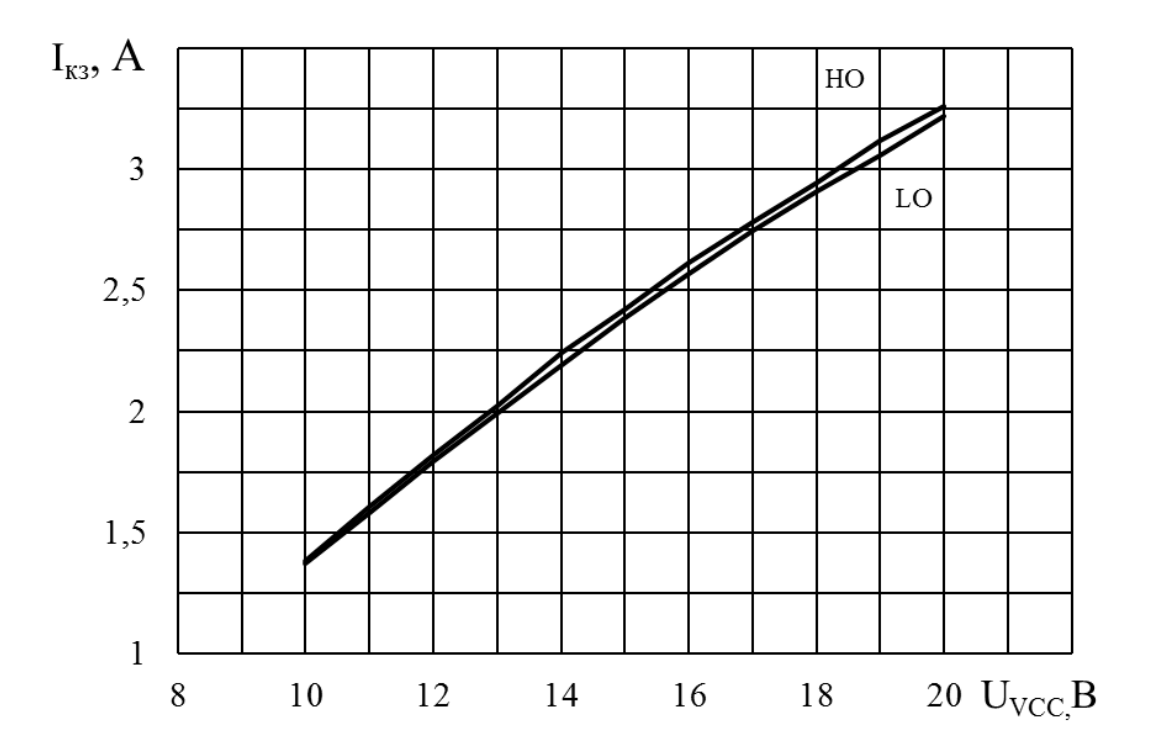


Рисунок 54-3ависимости импульсного выходного тока в режиме короткого замыкания на вывод земля от напряжения питания U_{VCC} при температуре окружающей среды $T_c = (25 \pm 10)$ °C для микросхем К1347АП4Р и К1347АП4Т

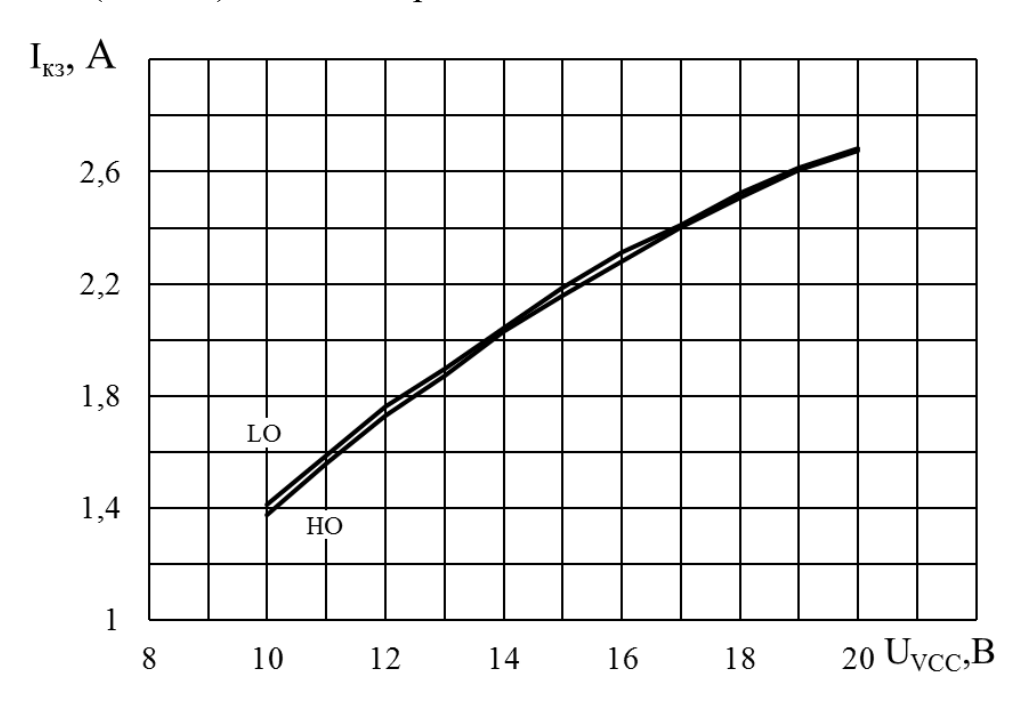


Рисунок 55 — Зависимости импульсного выходного тока в режиме короткого замыкания на вывод питания от напряжения питания U_{VCC} при температуре окружающей среды $T_c = (25 \pm 10)$ °C для микросхем К1347АП4Р и К1347АП4Т

Лист регистрации изменений

	Номера листов (страниц)						Входящий		_
					Всего	Номер	номер со-		i l
Изм.	изме-	заме-	новых	анну-	листов	доку-	проводи-	Под	Дата
110111.			ПОВЫЛ	-			тельного	пись	Дата
	ненных	ненных		лиро-	(страниц)	мента		пись	i l
			'	ванных	в доку-		документа		
		<u> </u>	<u> </u>	<u> </u>	менте		и дата		
		1							
		<u> </u>	<u> </u>						
		1		1	ļ		ļ		ı
							ļ		1
									—
									\vdash
		<u> </u>		<u> </u>					